

# GABLS4-LES: une intercomparaison des modèles LES dans des conditions extrêmement stables observées en Antarctique

Fleur Couvreux\*, E Bazile\*, G Canut\*, P LeMoigne\*, B Maronga<sup>1</sup>, V. Fuka<sup>2</sup>, S. Basu<sup>3</sup>, B. Van Stratum<sup>4</sup>, C. Van Heerwaarden<sup>4</sup>, G. Matheou<sup>5</sup>, M Chinita<sup>5</sup>, A Cheng<sup>6</sup>, J Edwards<sup>7</sup>, C Genthon<sup>8</sup>

\* CNRM-GAME, Météo-France and CNRS, Toulouse, France

1 IMC, Leibniz Universitat, Hannover, Germany

2 University of Praha, Praha, Czech Republic

3 North Carolina State University, USA

4 Max Planck Institute, Hamburg, Germany

5 Jet Propulsion Laboratory, NASA, USA

6 Center for Weather and Climate Prediction, NOAA, USA

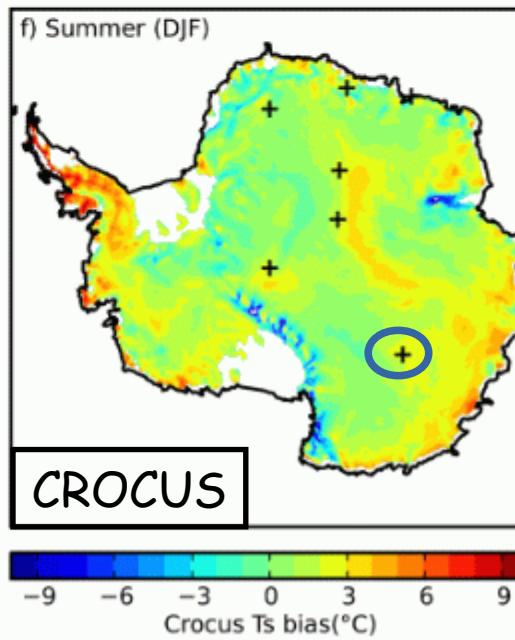
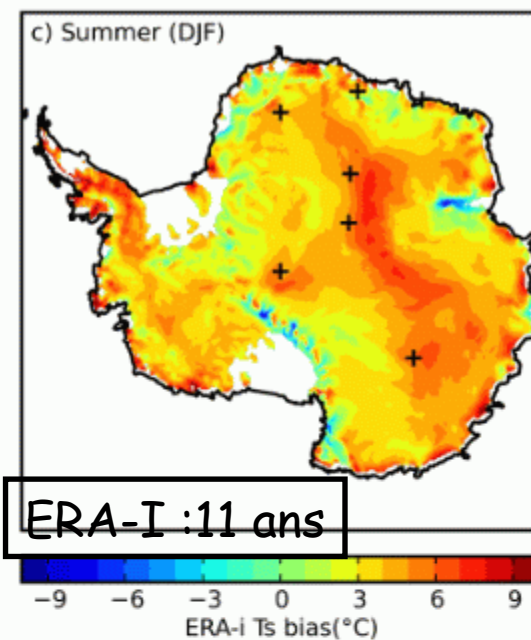
7 Met Office, United Kingdom

8 LGGE, Grenoble, France



# Défaut des paramétrisations en conditions stables => un nouveau cas GABLS

- En conditions de forte stabilité de l'atmosphère et selon la paramétrisation utilisée, les modèles NWP & GCM présentent un excès de mélange des basses couches ou un fort découplage à la surface → biais chaud ou froid (Holtslag et al 2013) => besoin de référence (LES) pour le développement de paramétrisations
- Une 4<sup>eme</sup> intercomparaison GABLS => focus sur des conditions très stables ( $Ri > 1$ ), avec interaction avec la surface (surface simple=neige), observations dataset



## Questions :

- peut on reproduire les observations de la tour avec les LES ?
- pour une résolution et un forçage donnés, comment différentes LES se comparent elles ?
- quelle est la résolution nécessaire pour résoudre les principaux processus dans un tel cas ?

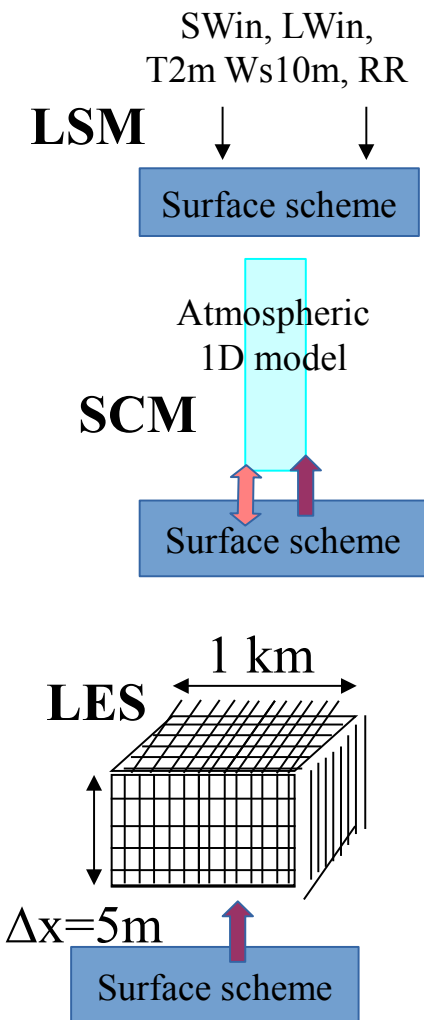
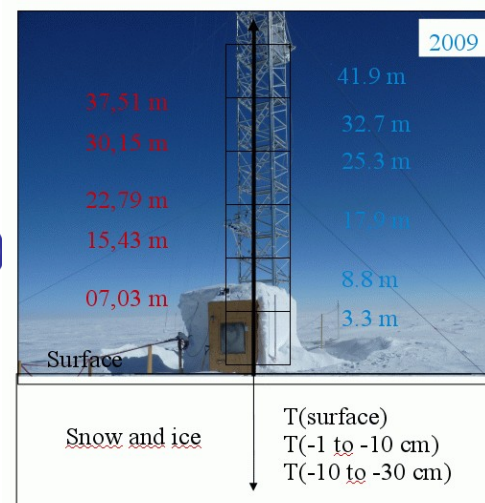
Biais de température de surface /MODIS  
(Freville et al. 2014)

# GABLS4: 3 intercomparaisons en 1

- Stage 0: Land Surface Model (LSM=snow scheme) driven by observations for 15 days
- Stage 1: Single Column Model (SCM) with all the physics and surface interaction: 36h forecast starting the 11<sup>th</sup> Dec 2009.
- Stage 2: Large-Eddy Simulation (LES) and SCM, stage1 atmospheric forcing but prescribed surface temperature
- Stage 3: LES and SCM. "ideal GABLS4" or simplified: no radiation, no specific humidity, constant geostrophic wind, no advection, Ts prescribed. Easier for the LES community and DNS

Observations dataset: Concordia

- 5 sonic anemometers (7,15, 23,30,38m)
- low fqcy parameters (3,9,18,25,33,42m)
- radiation measurements

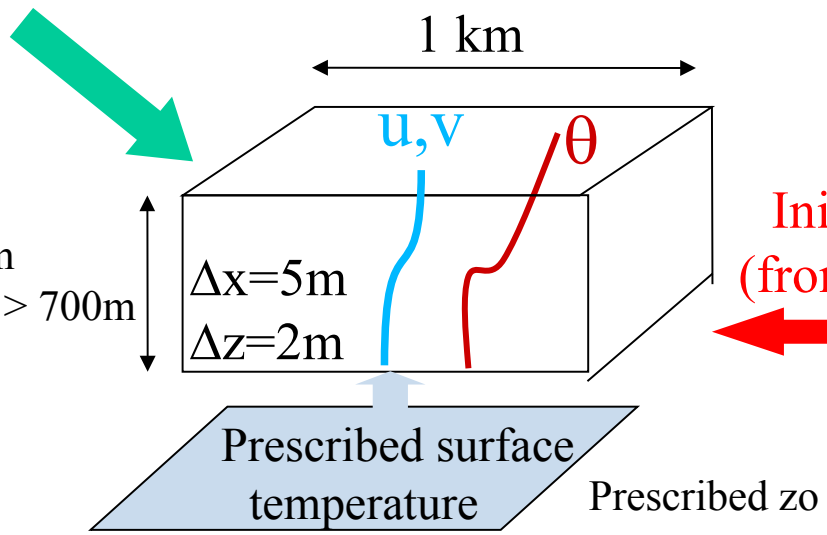


# Stage 3 : setup & LES participants

## LS forcing :

No T & q advection

Constant geostrophic wind



## LES :

MNH (*Lafore et al 98*): sensitivity tests to zo

PALM (*Maronga et al 15*): sensitivity tests  $\Delta x = 2\text{m}, 1\text{m} ; Lx = 2\text{km}$

MicroHH (*Van Stratum et al, 15*): over a wider domain  $Lx = 3\text{km}$  + sensitivity tests to  $\Delta x, \Delta z (2, 1, 0.5, 0.25\text{m})$

JPL-LES (*Matheou and Chung 2014*) : tests to zo,  $\Delta x = 2\text{m}$  and subgrid scheme

SAM-LES (*Khairoutdinov and Randall 2003 ; Cheng et al, 2011*) : -

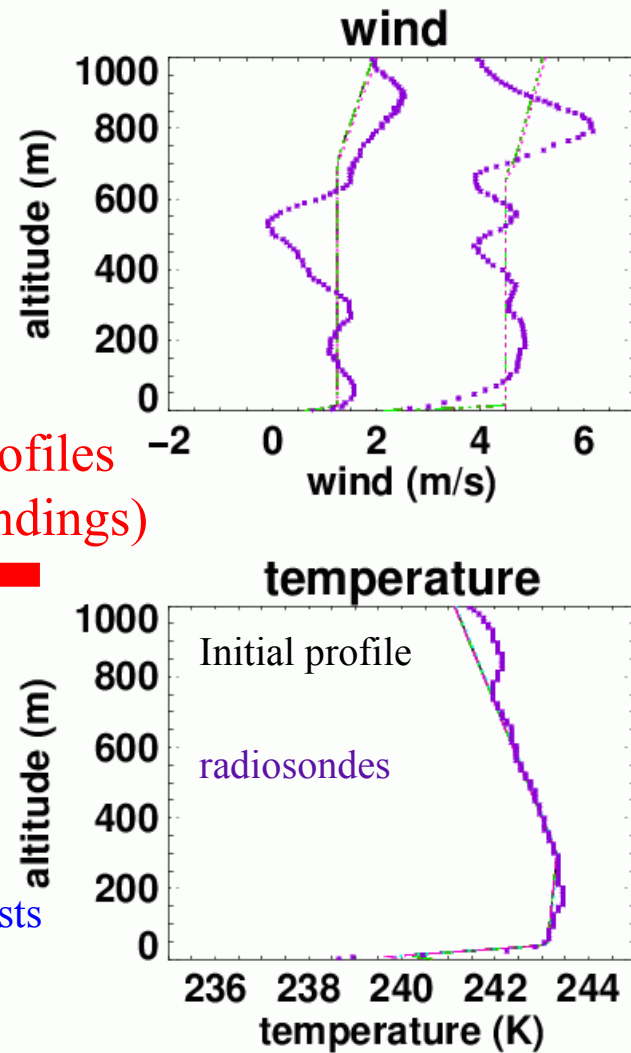
CLMM-LES (*Fuka et al, 2011*): - sensitivity tests to subgrid scheme

NCSU-LES (*Basu et al, 2008*) : only  $\Delta x = \Delta z = 10\text{m}$

UKMO-LES (*Edwards et al, xxxx*): -

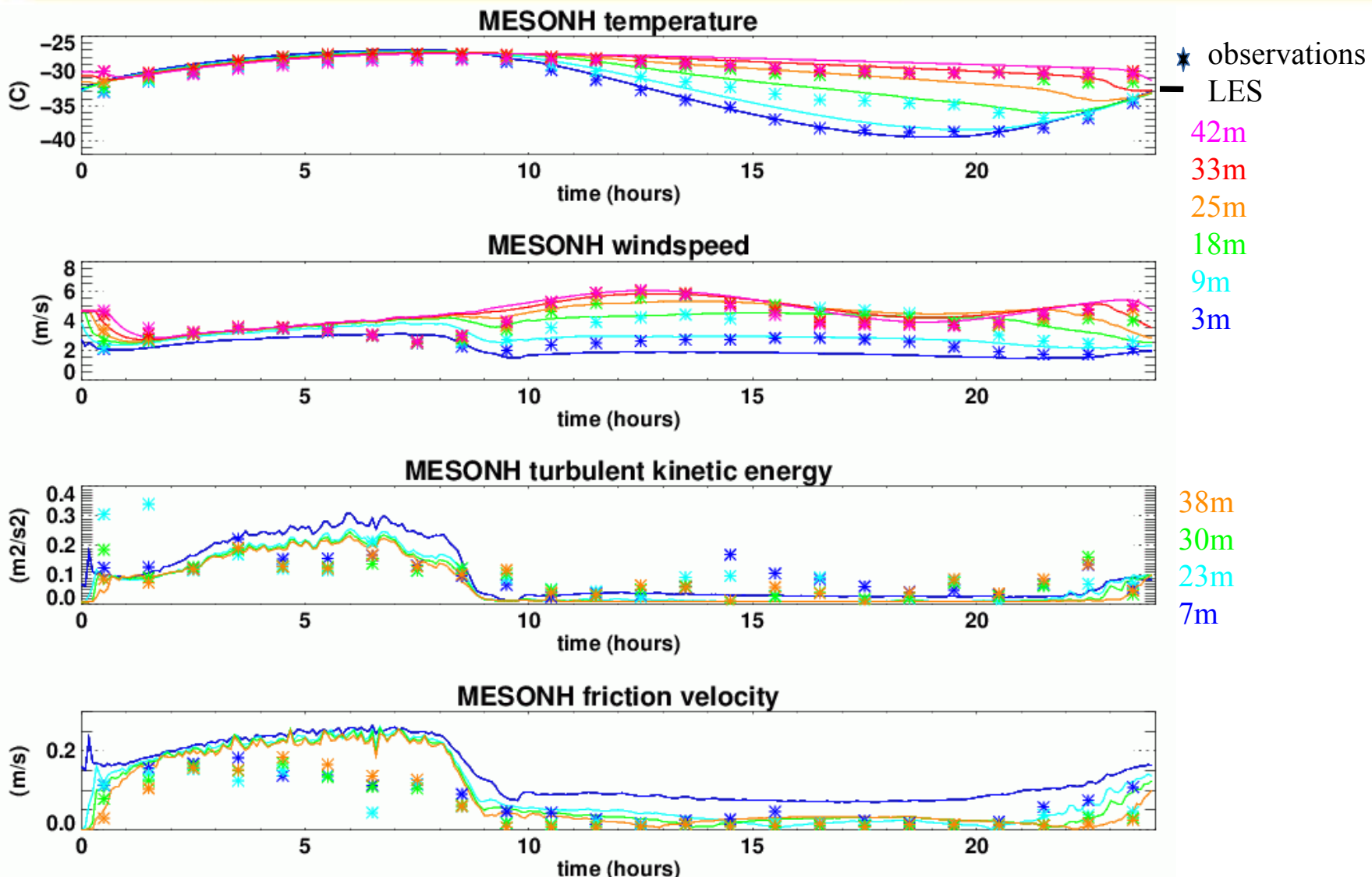
## Parametrizations:

- turbulence scheme
- surface scheme or MO similarity
- no radiative scheme



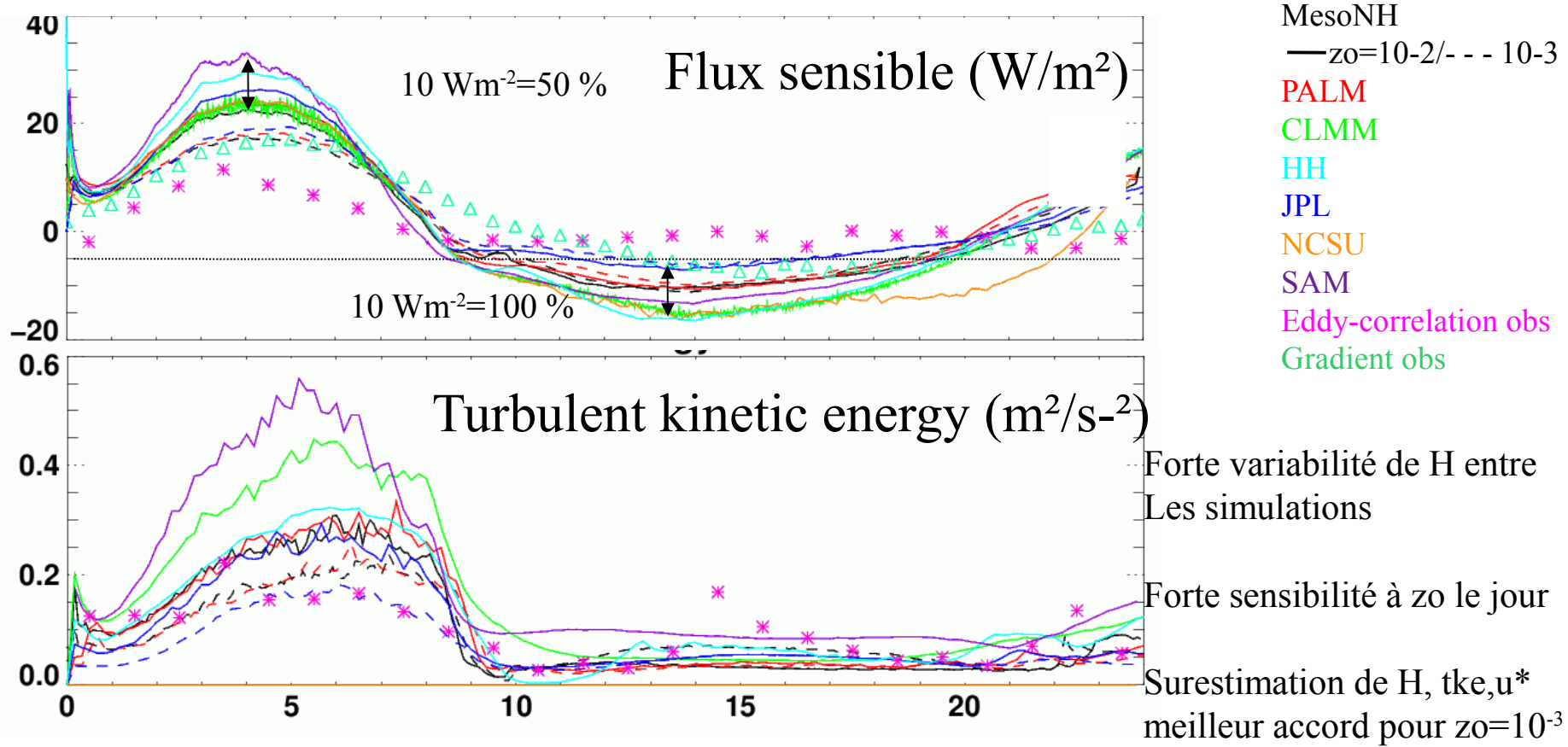
No moisture

# LES Meso-NH : comparaison aux observations de la tour



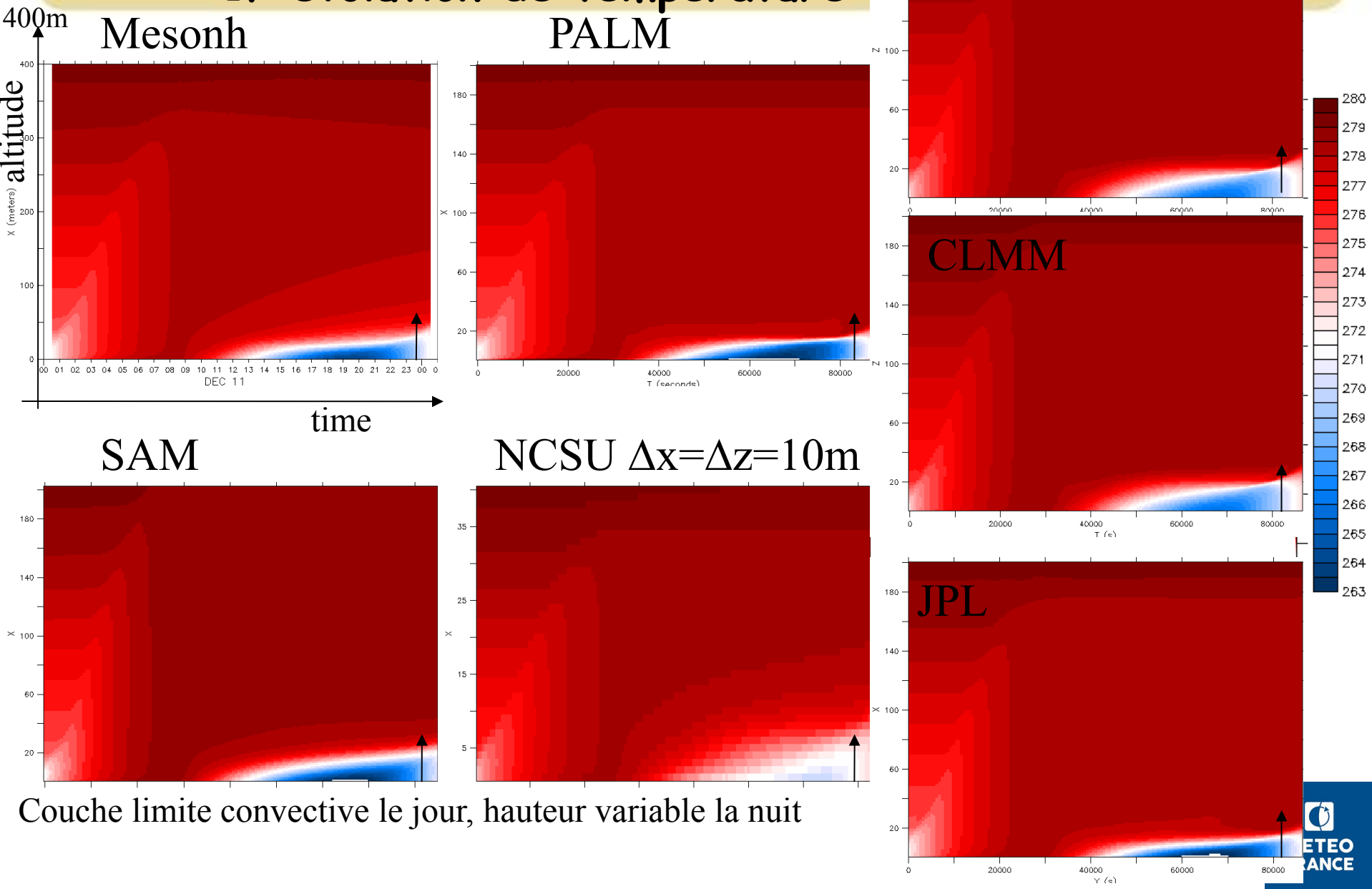
- gradient régulier dans les 40m dans LES alors que + fort dans les premiers m dans obs
- turbulence plus importante le jour/obs => réduite par un zo plus faible

# Intercomparaison LES: champs de surface



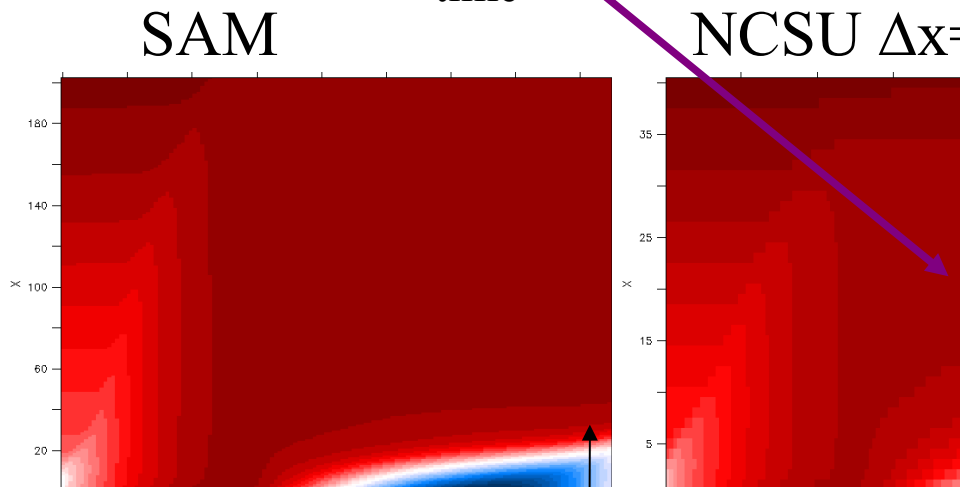
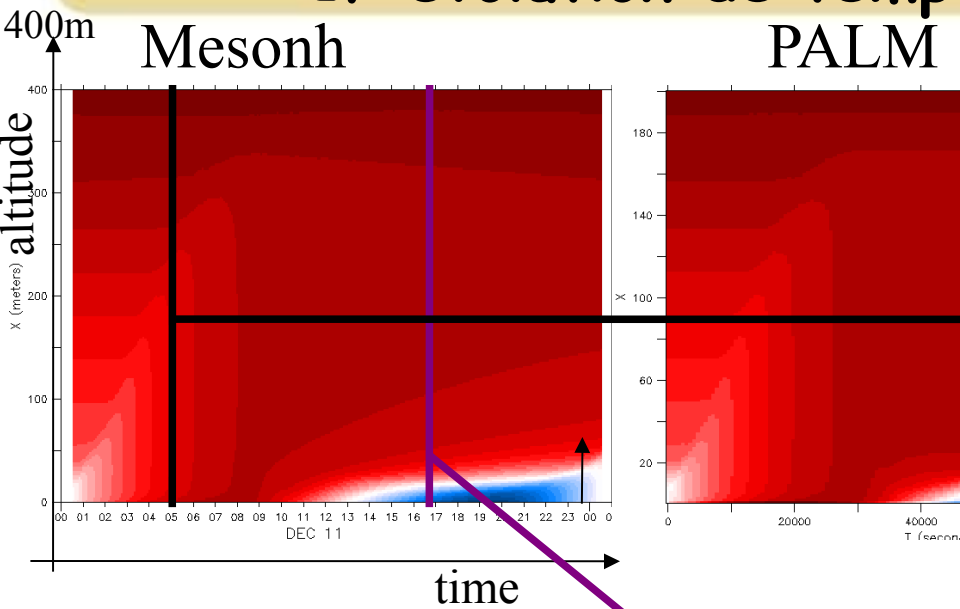
# Intercomparaison LES :

## 1/ évolution de température

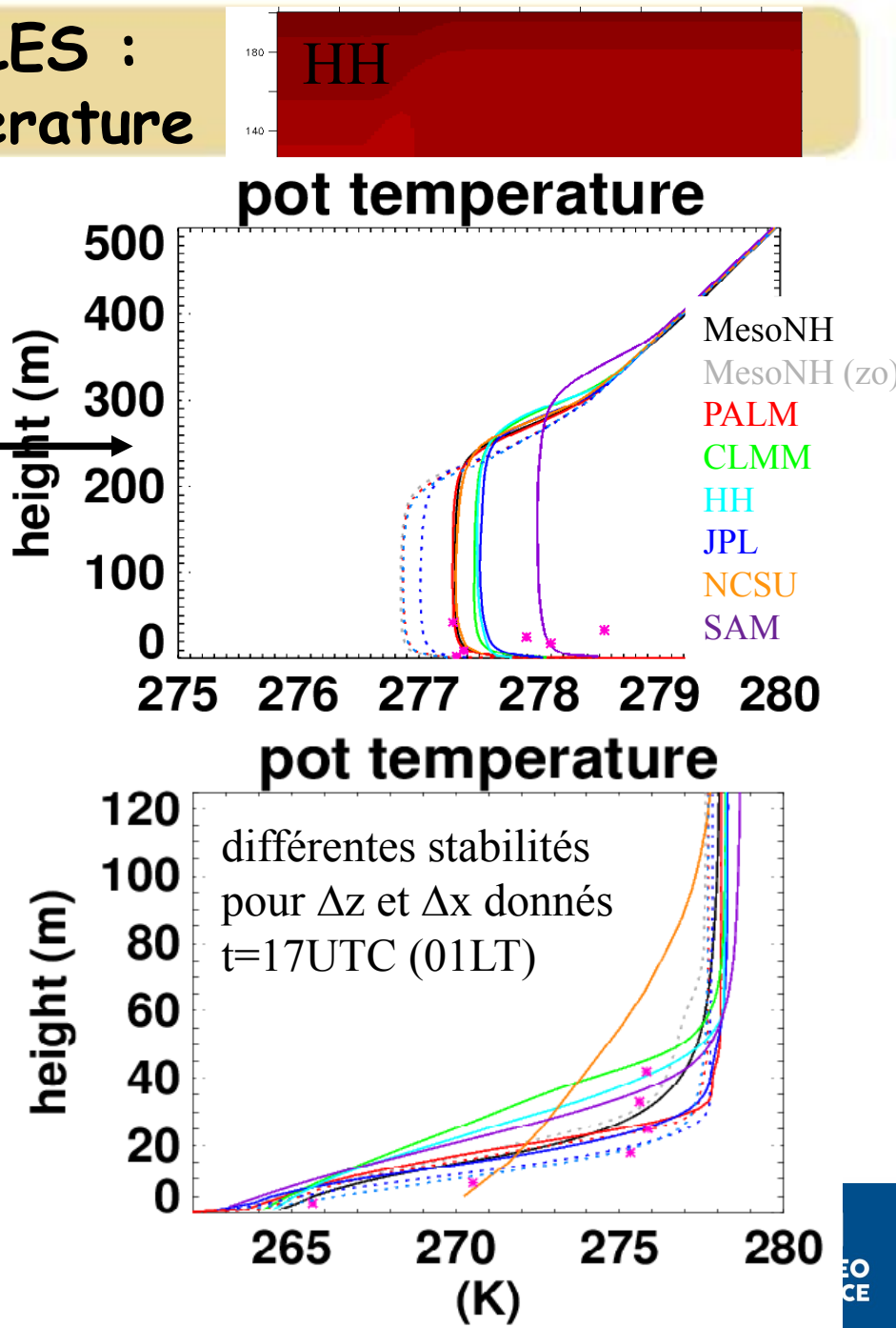


# Intercomparaison LES :

## 1/ évolution de température

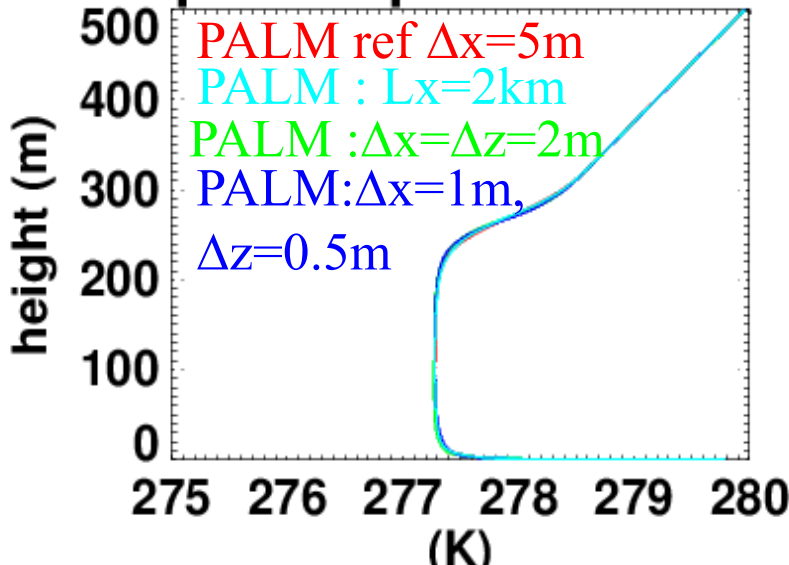


Couche limite convective le jour, hauteur variable

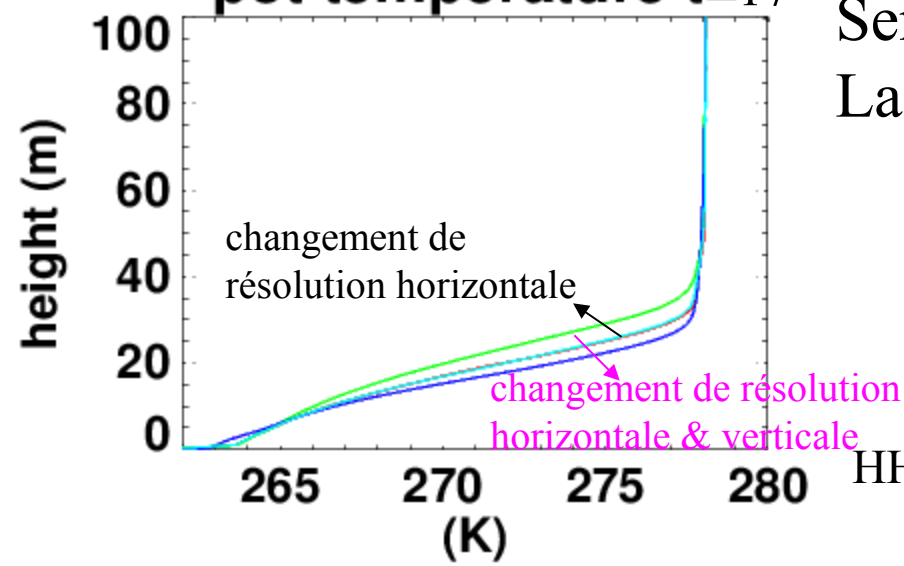


# Sensibilité à la résolution : pour PALM & JPL

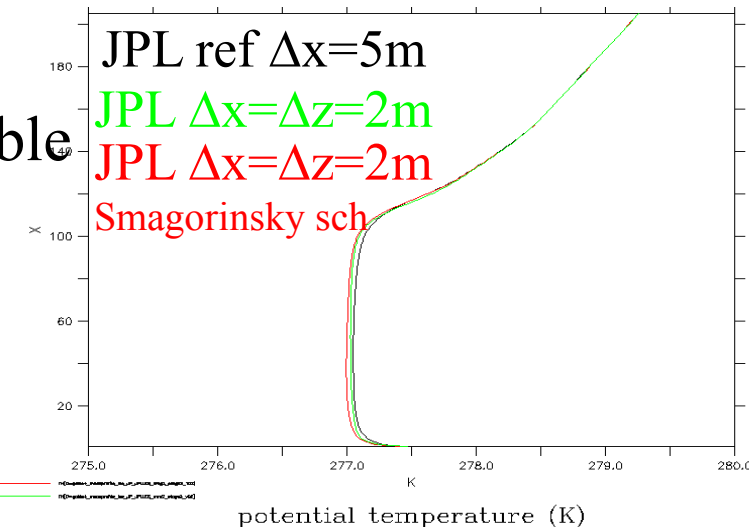
**pot temperature  $t=5$**



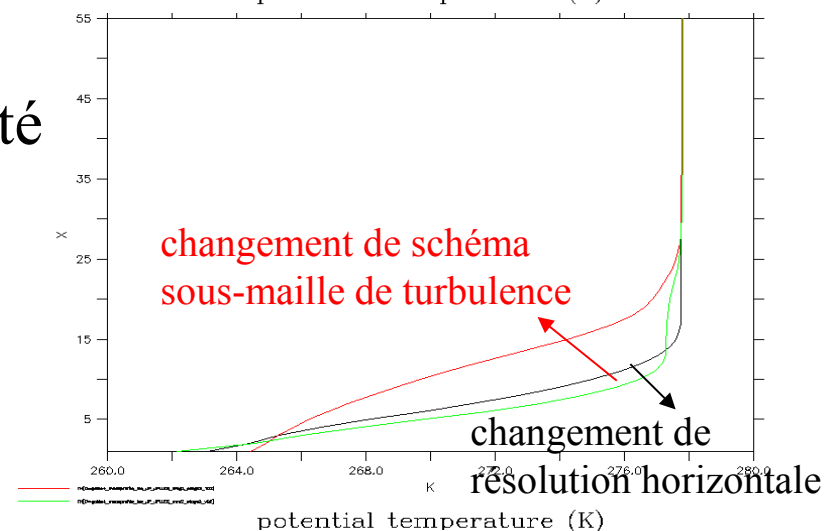
**pot temperature  $t=17$**



Peu sensible  
En CBL



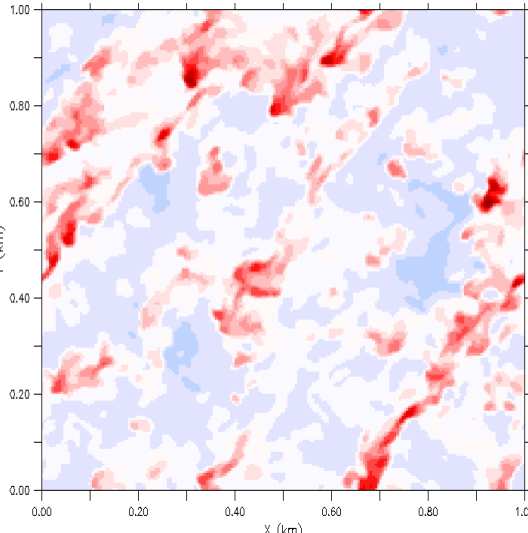
Forte  
Sensibilité  
La nuit



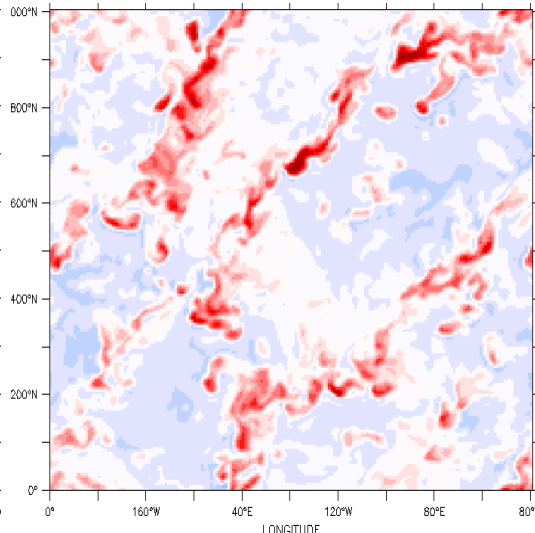
HHLES => 0.25m no convergence

# intercomparaison LES : structures horizontales d'anomalies de température potentielle le jour à 39m

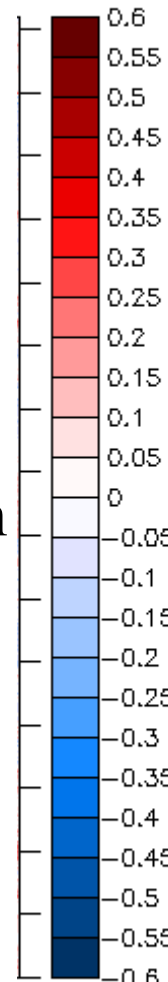
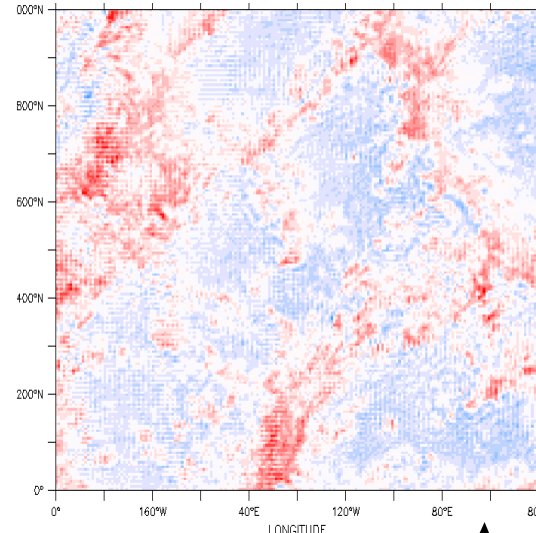
Mesonh



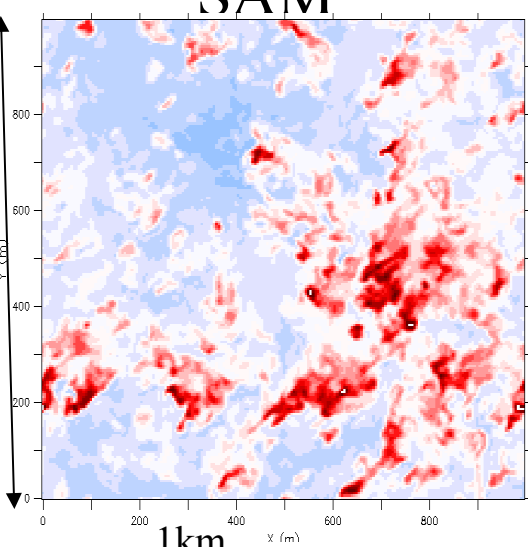
PALM



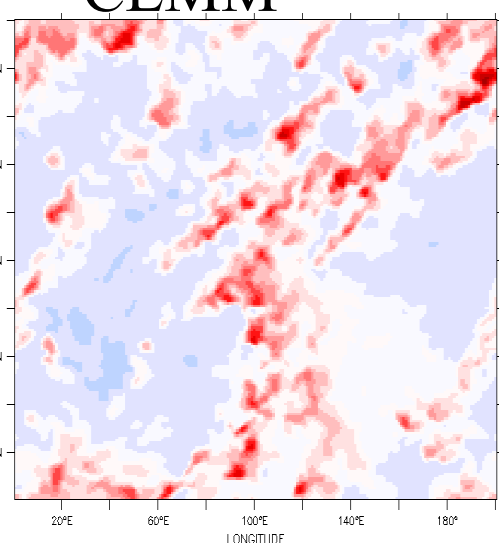
HH



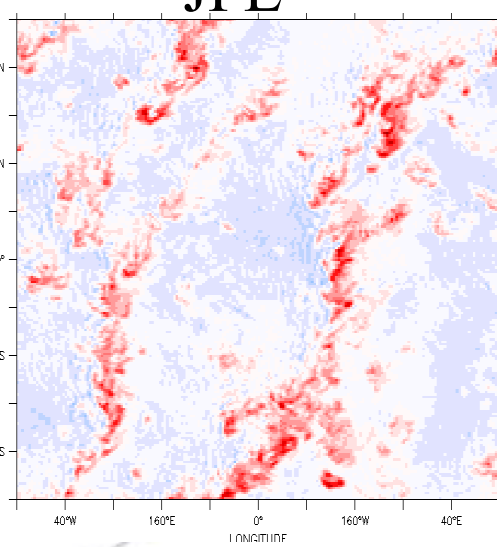
SAM



CLMM



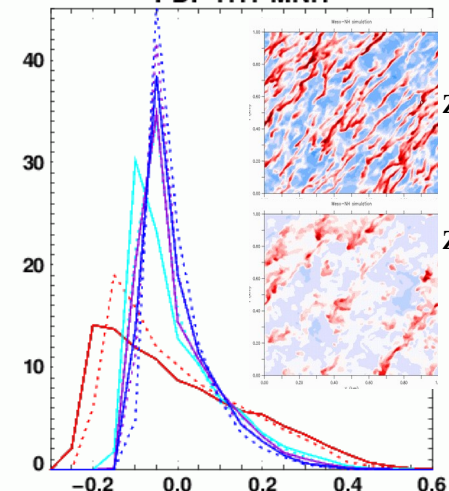
JPL



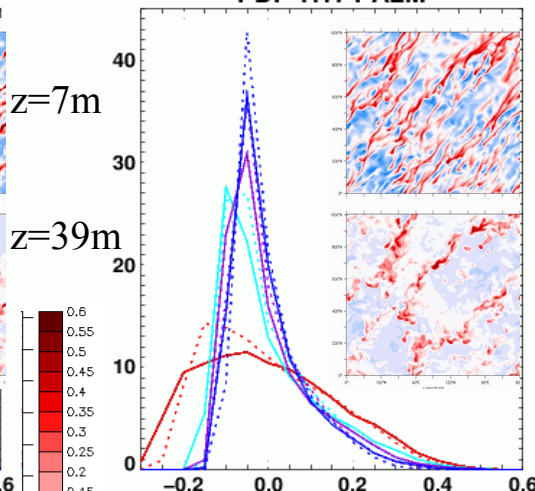
$\Delta x = 5\text{m}$

# intercomparaison LES: distributions simulées/observées

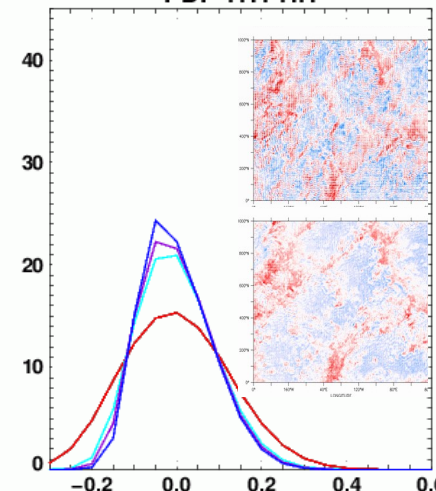
PDF THT MNH



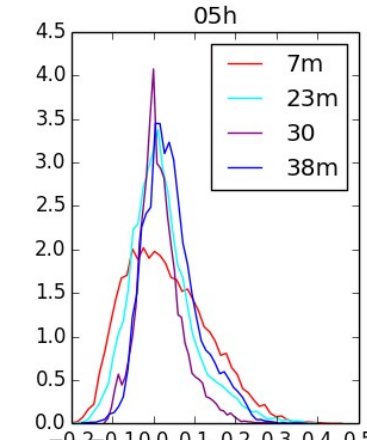
PDF THT PALM



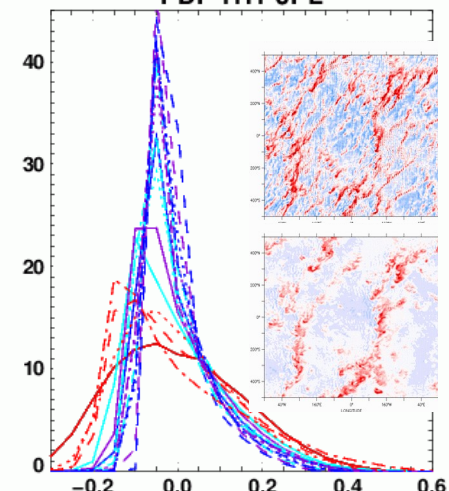
PDF THT HH



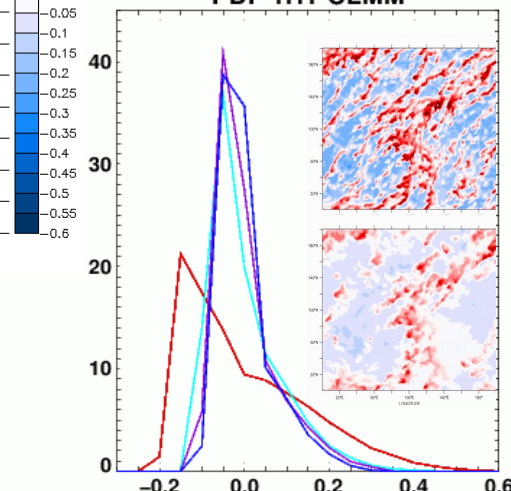
Observations



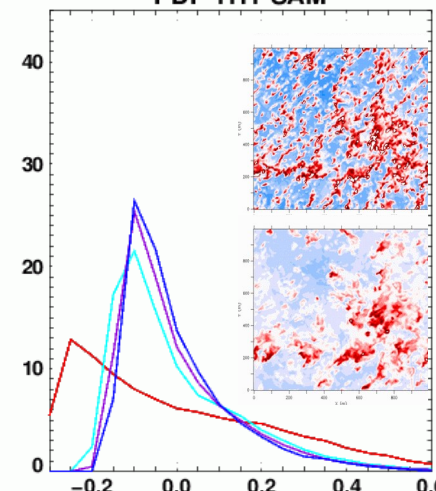
PDF THT JPL



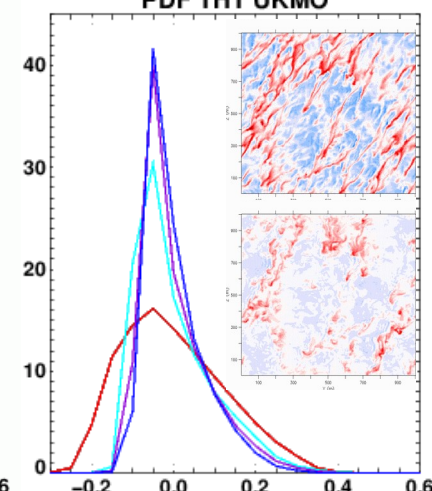
PDF THT CLMM



PDF THT SAM



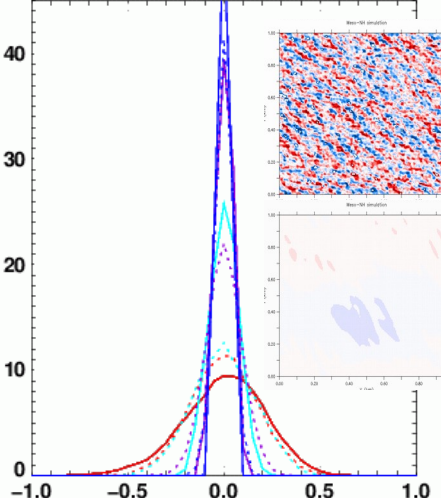
PDF THT UKMO



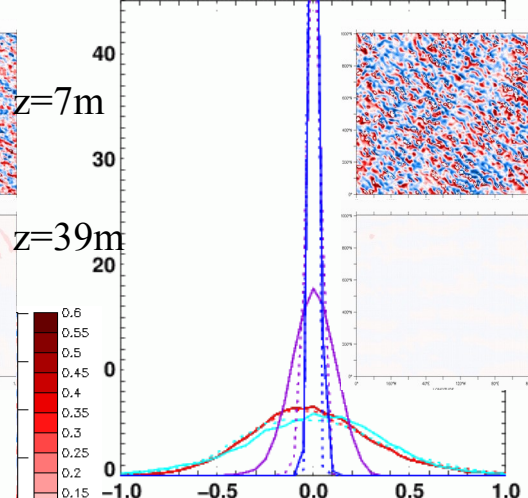
Distribution plus ou moins skewnées

# intercomparaison LES: distributions simulées/observées

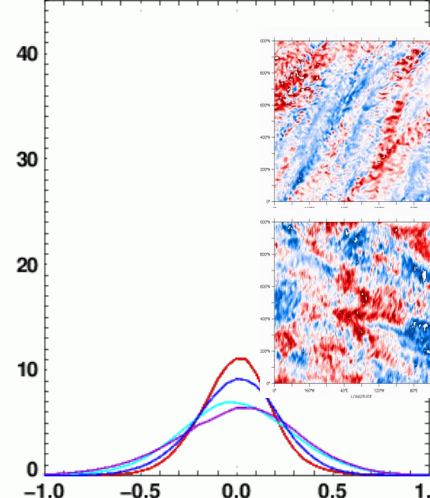
PDF THT MNH



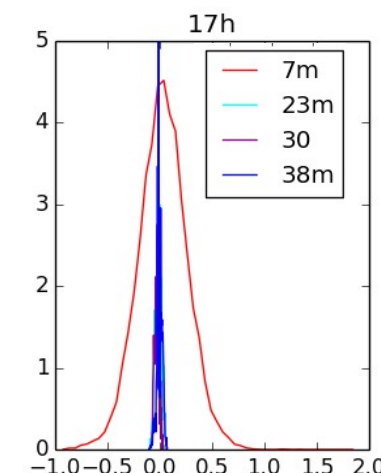
PDF THT PALM



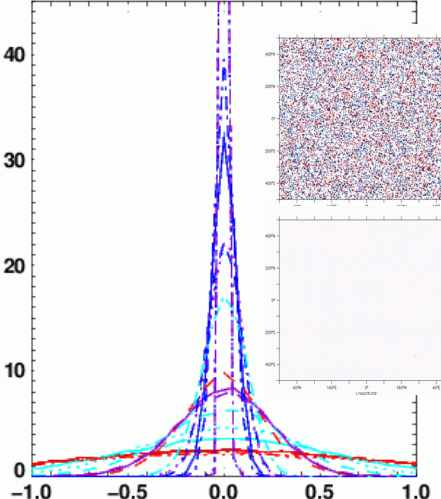
PDF THT HH



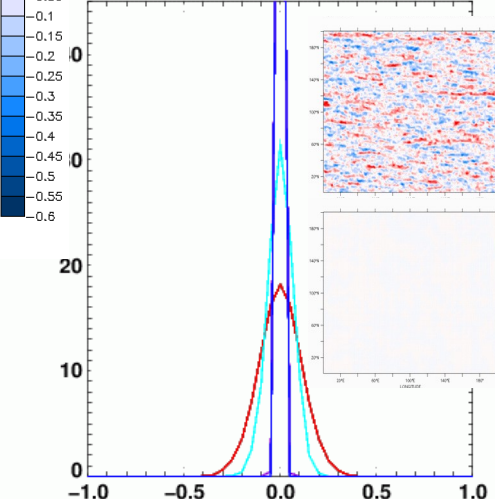
Observations



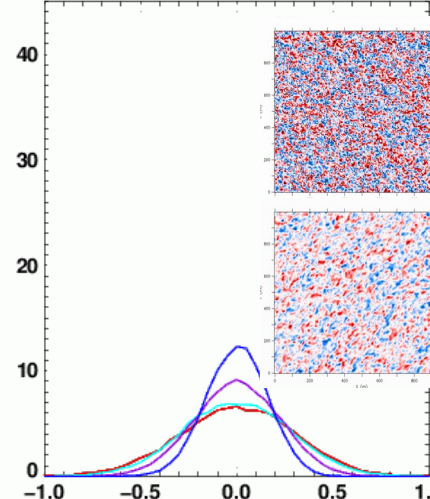
PDF THT JPL



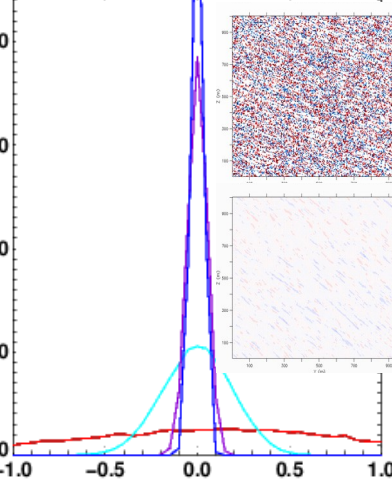
PDF THT CLMM



PDF THT SAM



PDF THT UKMO

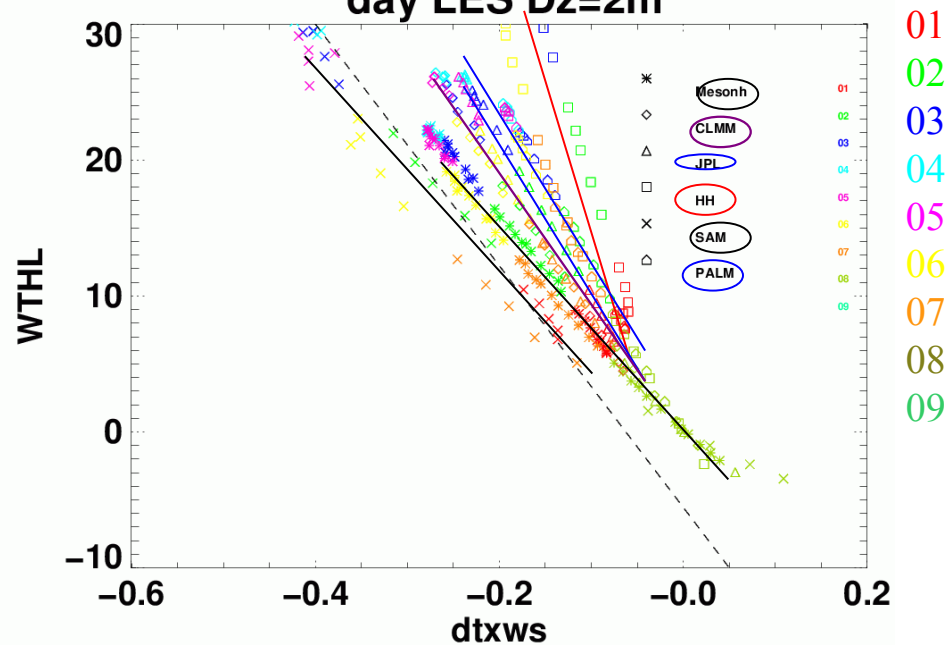


Distributions symétriques  
variabilités importantes entre modèles

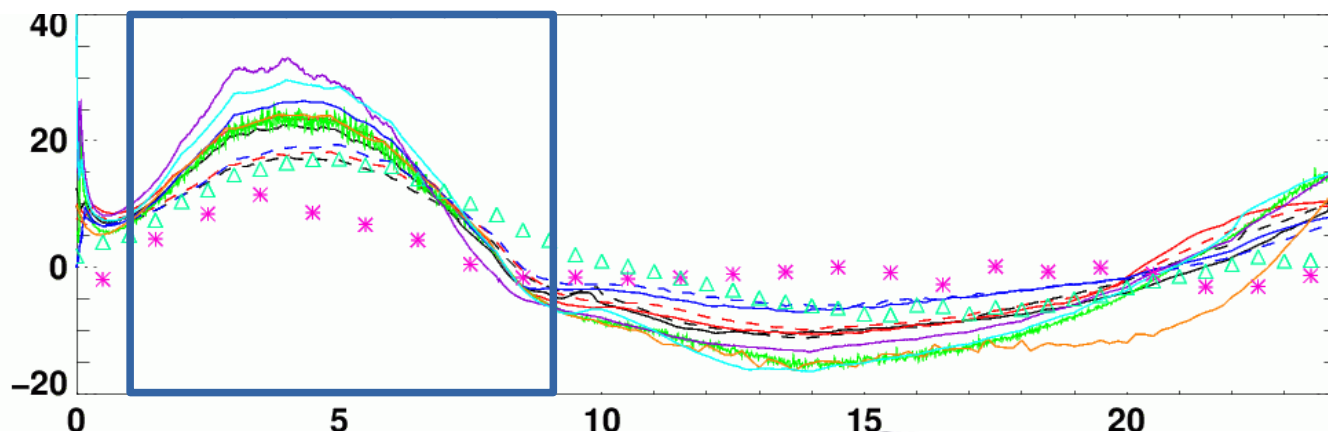
# Coefficients de transfert chaleur le jour :

$$\langle wthl \rangle(z=2m) = f(Ws(z=3m) * \Delta th(1-3m))$$

day LES Dz=2m



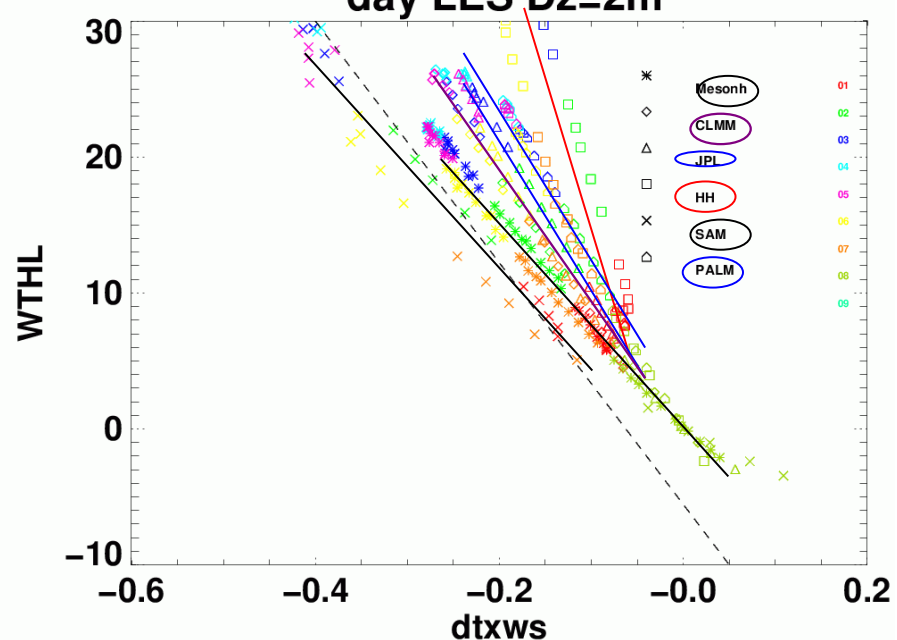
- Pentes différentes entre les LES même si noyau dur



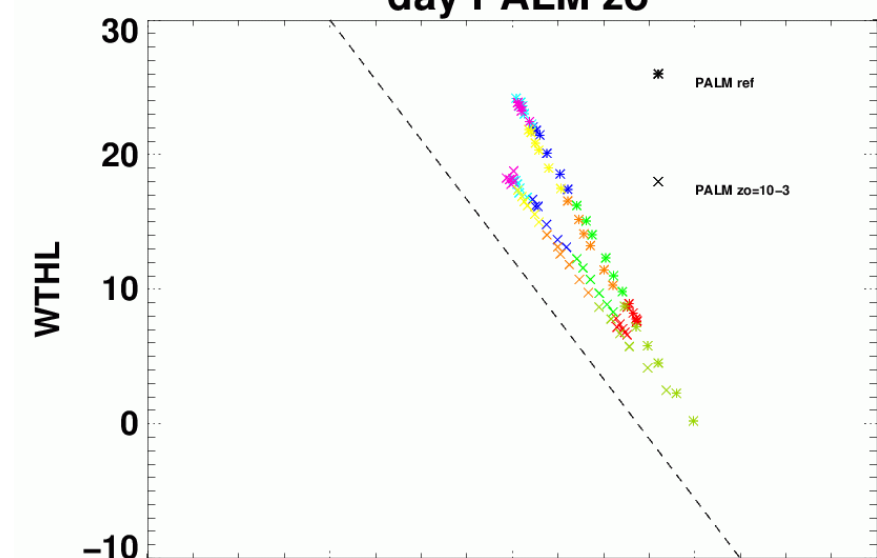
# Coefficients de transfert chaleur le jour :

$$\langle wthl \rangle(z=2m) = f(Ws(z=3m) * \Delta th(1-3m))$$

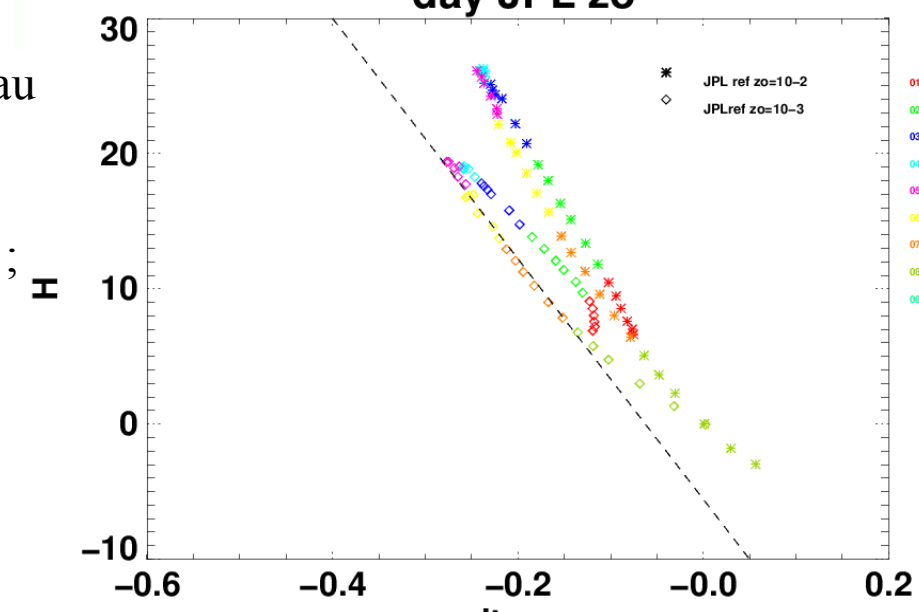
day LES Dz=2m



day PALM zo



day JPL zo

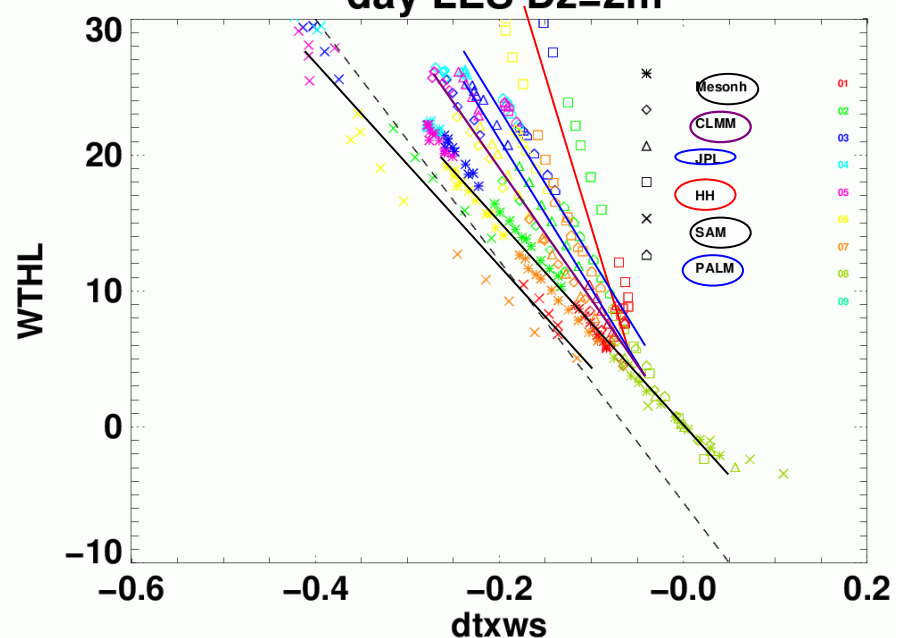


- Pentes différentes entre les LES même si noyau dur
- Sensibilité à la résolution (ver/hor) même si gradient calculé entre mêmes altitudes absolues ; peu sensible à zo

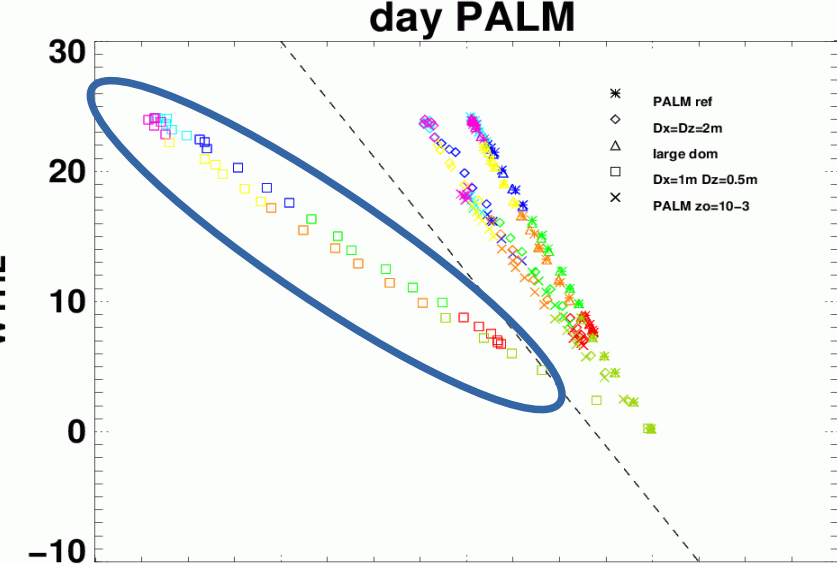
# Coefficients de transfert chaleur le jour :

$$\langle wthl \rangle(z=2m) = f(Ws(z=3m) * \Delta th(1-3m))$$

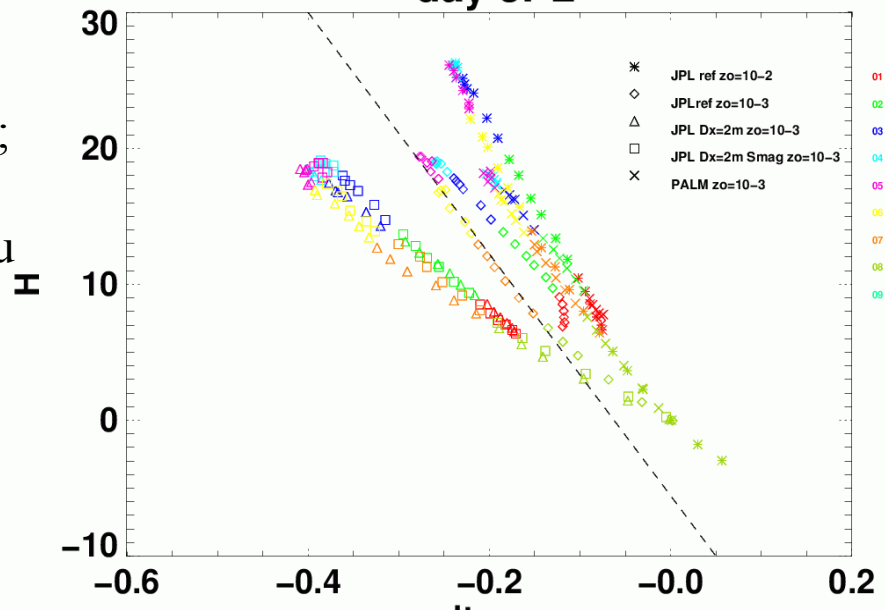
day LES Dz=2m



day PALM



day JPL

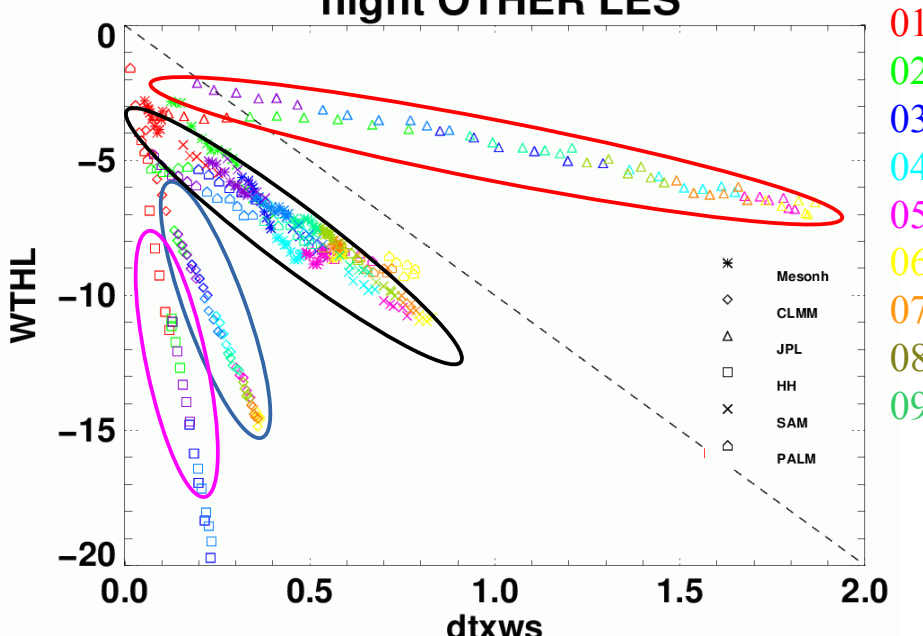


- Sensibilité à la résolution (ver/hor) même si gradient calculé entre mêmes altitudes absolues ; peu sensible à zo
- Pentes différentes entre les LES même si noyau dur

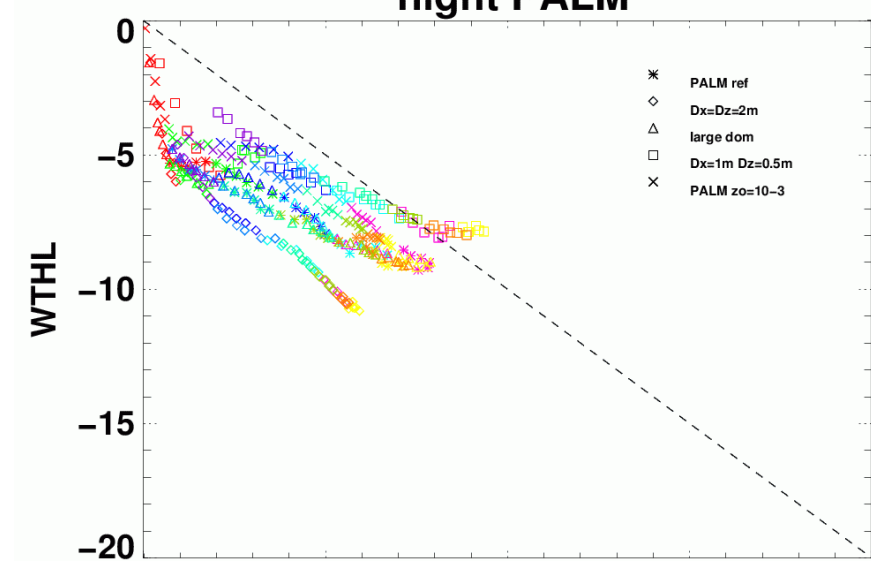
# Coefficients de transfert chaleur la nuit :

$$\langle wthl \rangle(z=2m) = f(Ws(z=3m) * \Delta th(1-3m))$$

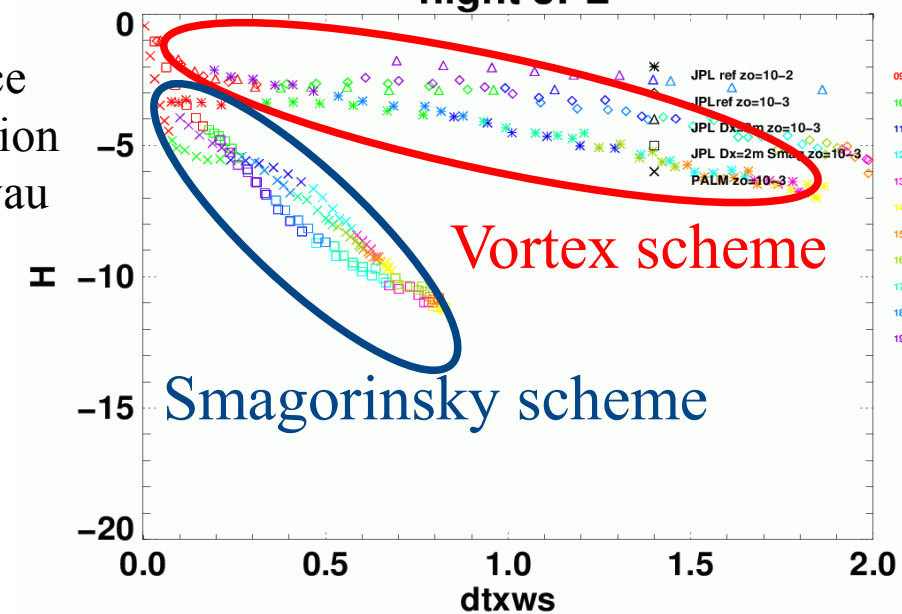
night OTHER LES



night PALM



night JPL

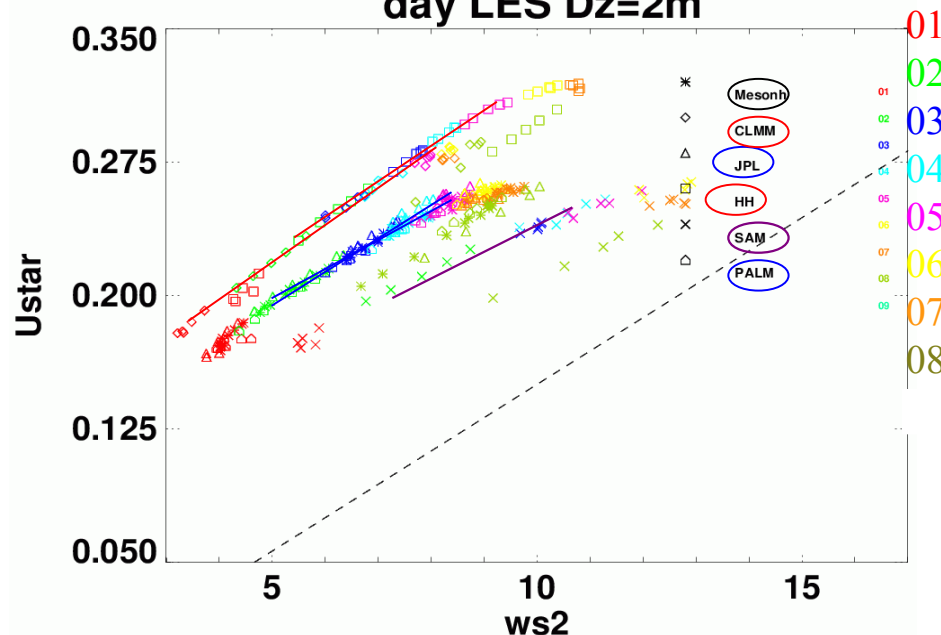


- JPL : forte sensibilité au schéma de turbulence
- Relativement faible sensibilité à  $zo$  et résolution
- Pentes différentes entre les LES même si noyau dur

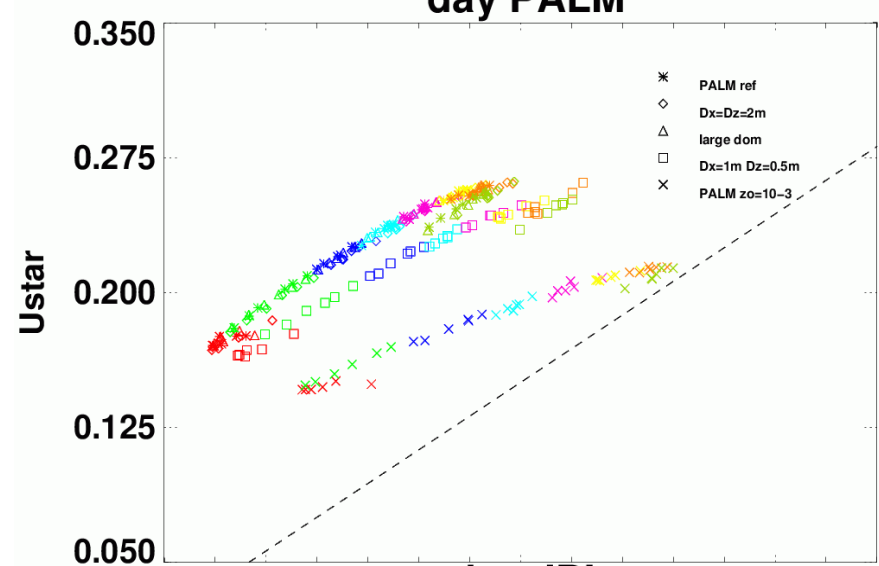
# Coefficients de transfert moment le jour :

$$\text{sqrt}(\langle wu \rangle^2 + \langle wv \rangle^2)(z=2\text{m}) = f(Ws(z=3\text{m})^2)$$

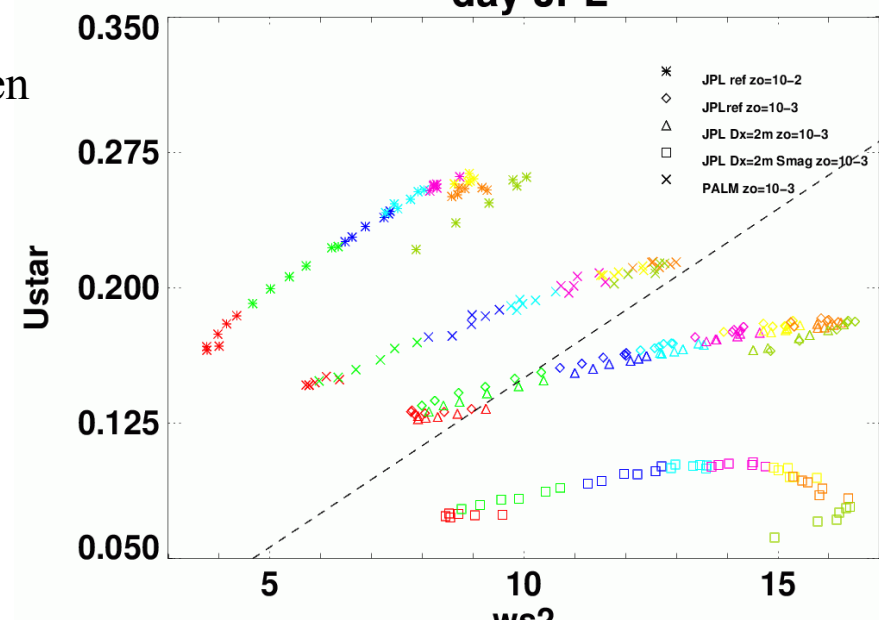
day LES Dz=2m



day PALM



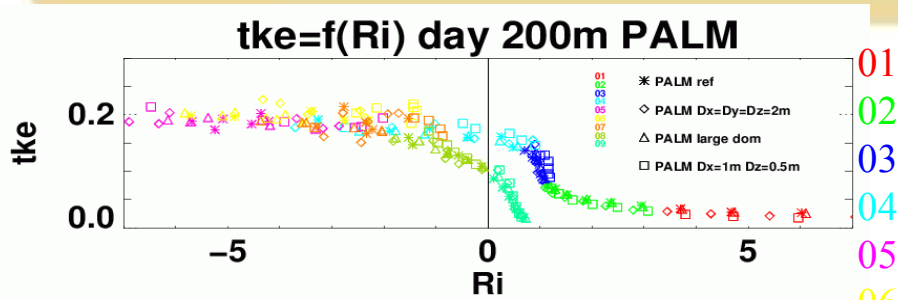
day JPL



- Sensibilité à  $z_0$  et au schéma de turbulence; bien moins sensible à la résolution (ver/hor)
- Pentes bien plus proches entre les LES

# Régimes turbulents : en fonction des LES

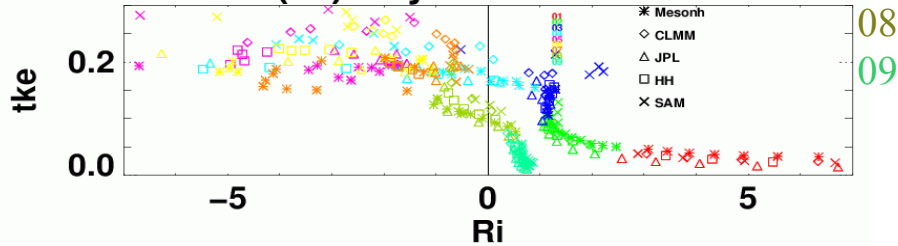
tke=f(Ri) day 200m PALM



01  
02  
03  
04  
05  
06  
07  
08  
09

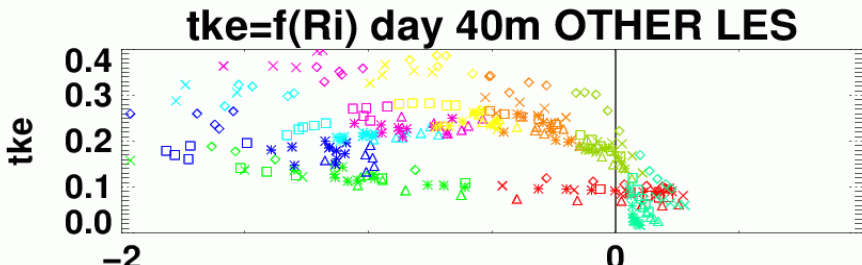
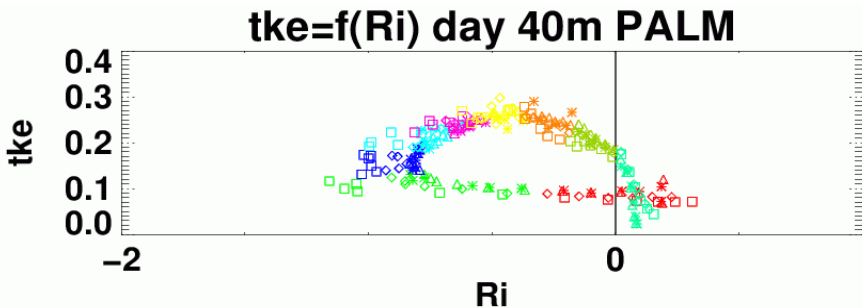
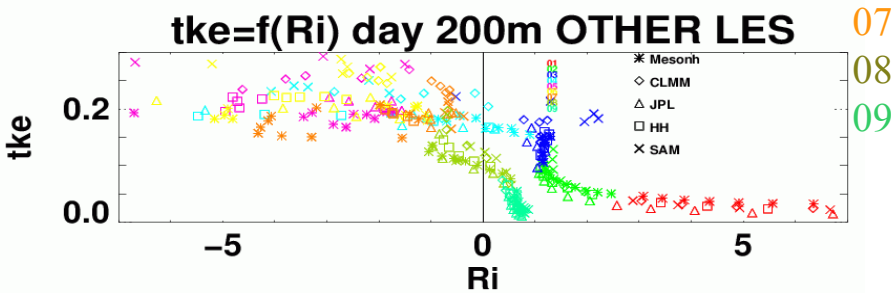
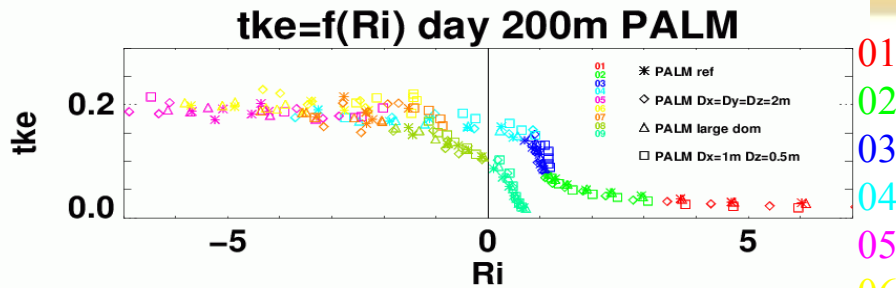
Le jour : histérésie à 200m

tke=f(Ri) day 200m OTHER LES



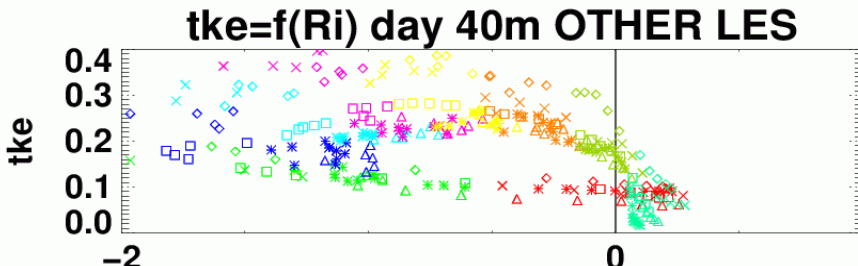
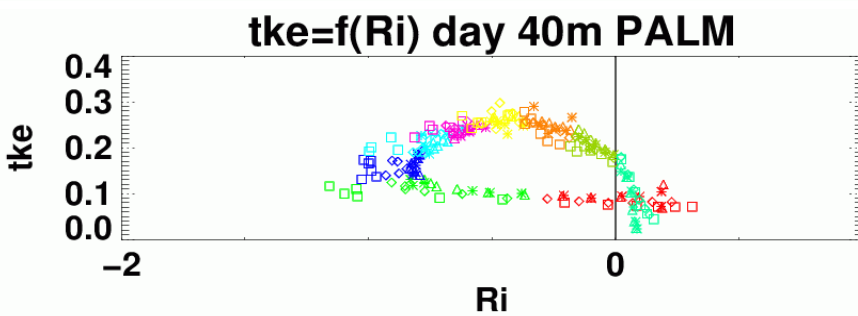
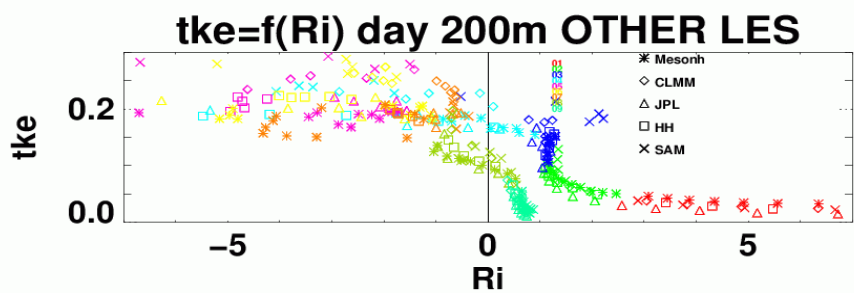
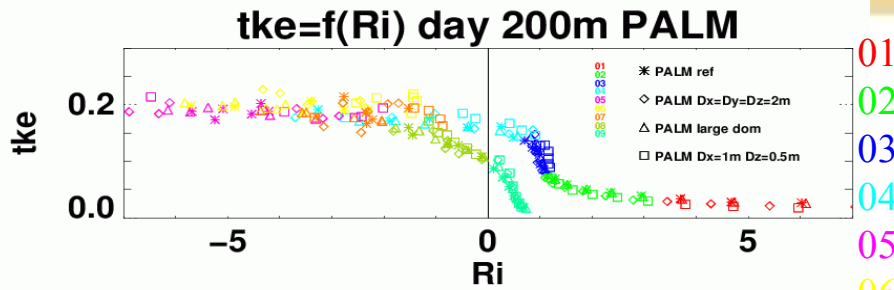
01  
02  
03  
04  
05  
06  
07  
08  
09

# Régimes turbulents : en fonction des LES



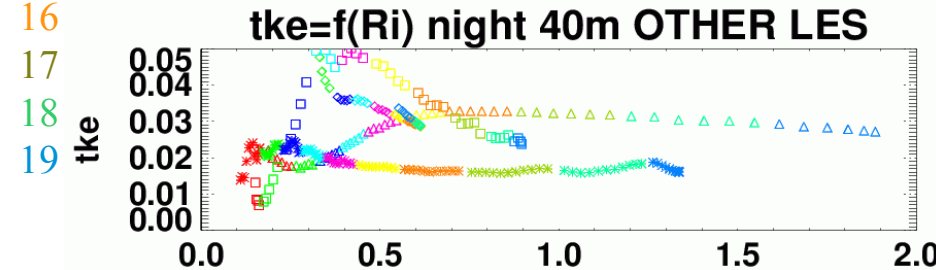
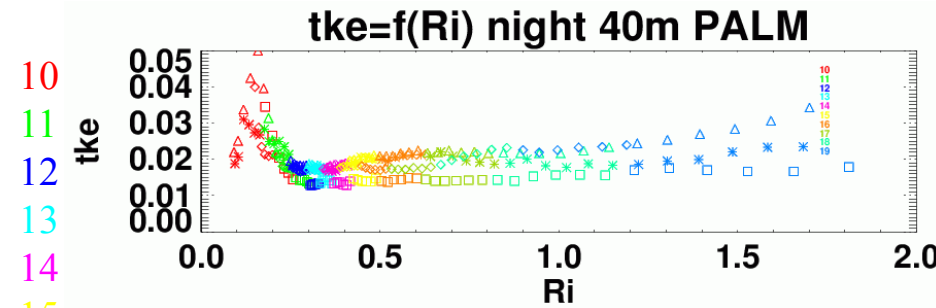
Le jour : histérésie à 200m & 40m : + ou - accord  
Entre les modèles

# Régimes turbulents : en fonction des LES



Le jour : histérésie à 200m & 40m : + ou - accord  
Entre les modèles

Plus de différences la nuit, exploration de  $Ri \pm$  fort



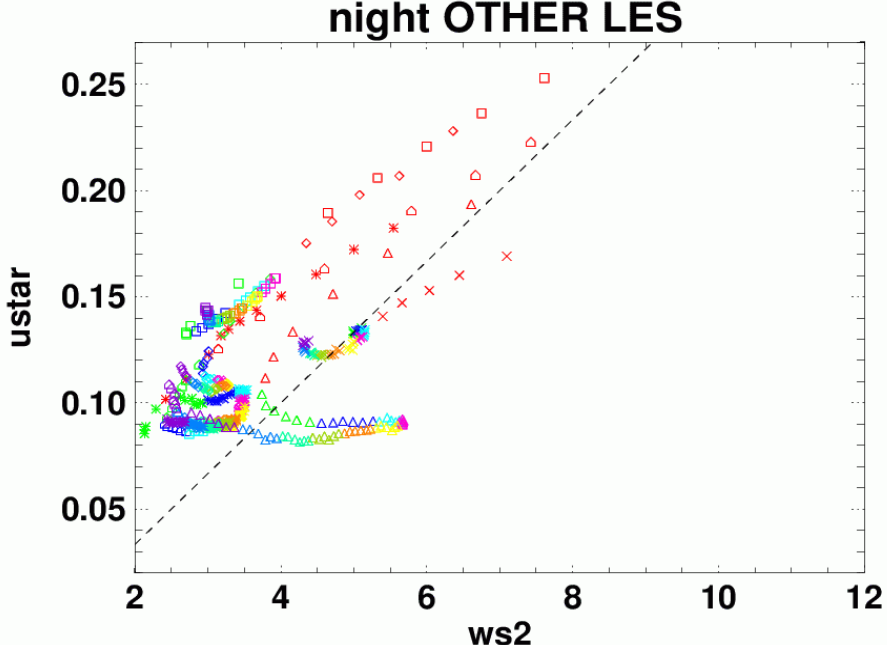
# Conclusions & Perspectives

- › Sensibilité à la résolution verticale & horizontale surt la nuit  
Pas de convergence (PALM-> 1m, JPL → 2m, HHLES → 0.25m)  
La nuit, tout se passe dans les 60m => très fine res°  
→ besoin de définir un autre setup : restart à 0830 pour un petit domaine et plus fine résolution(tests avec HHLES → 0.25m)
- › Stage 3 (setup simplifié) très proche des setup + réaliste (Stage 2): - bon accord avec les observations de la tour
- › Différences importantes entre LES en termes de flux de surface, de distributions horizontales, de spectres,... : peut-on relier ces différences à des différences de schémas de turbulence?  
→ en cours...

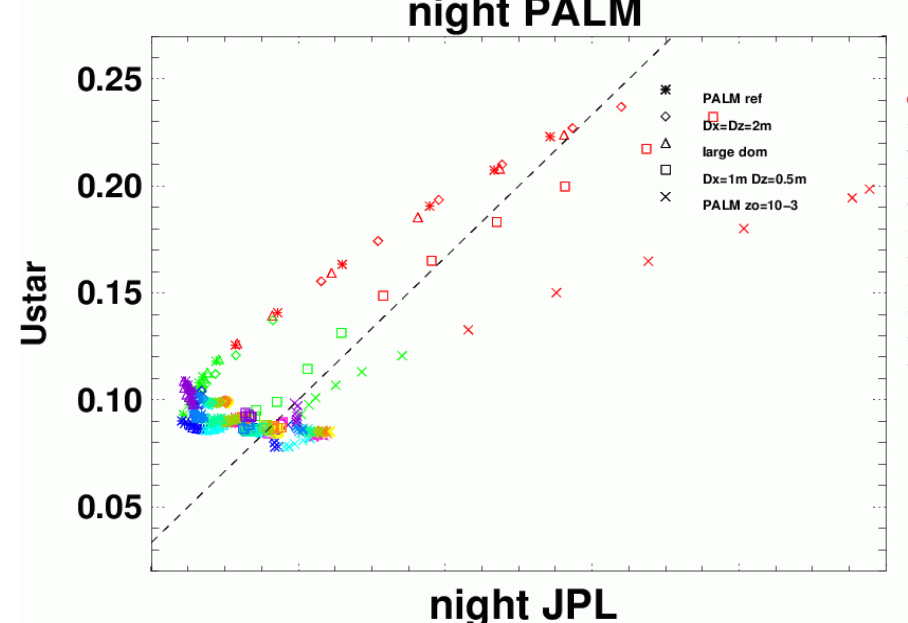
# Coefficients de transfert moment la nuit:

$$\sqrt{(\langle wu \rangle^2 + \langle wv \rangle^2)}(z=3m) = f(Ws(z=3m)^2)$$

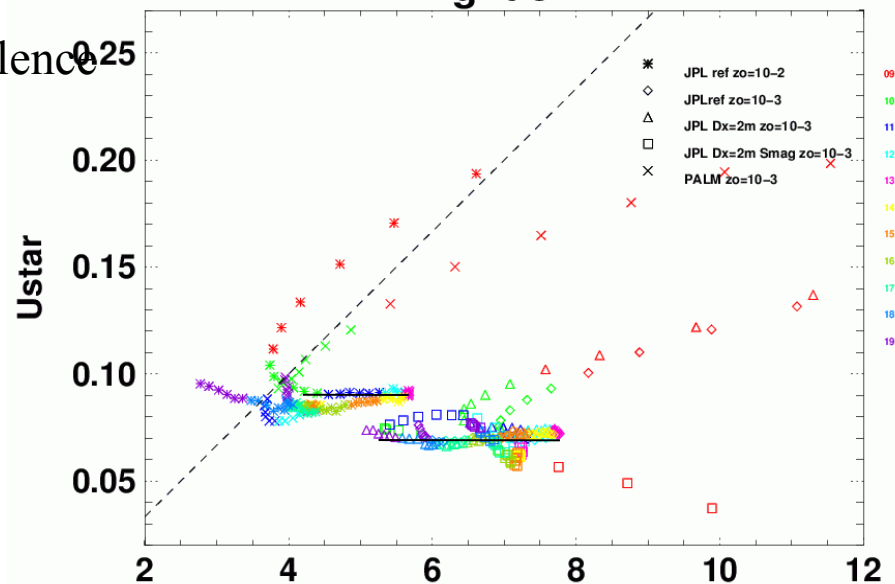
night OTHER LES



night PALM



night JPL



- Sensibilité surtout à  $zo$  et au schéma de turbulence
- Pentes différentes entre les LES

# Acknowledgements

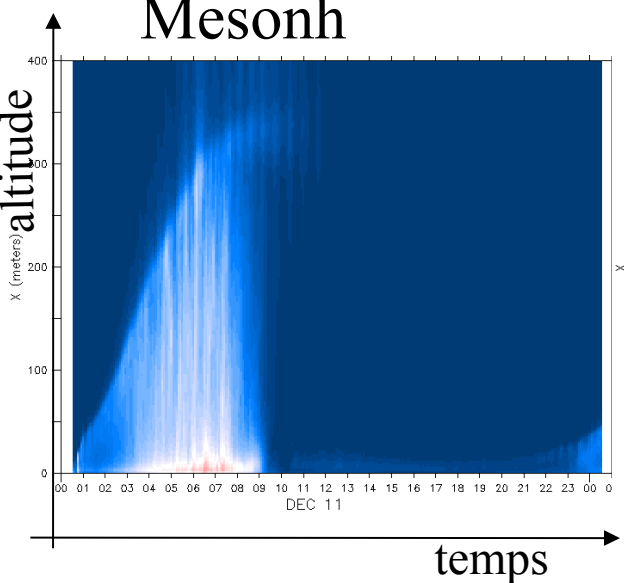
- The meteorological profiling observation program at Dome C which provides data for model evaluation / validation for GABLS4, is supported by IPEV (program CALVA), CNRS/INSU (program CLAPA) and OSUG (program CENACLAM). The IPY-CONCORDIASI program, supported by CNES, IPEV and CNRS, provided the rawwindsonde data
- People responsible of the observations at DomeC and those who provided the data for the chosen period : Eric Aristidi (Laboratoire Lagrange, Université Nice Sophia Antipolis, France), Christian Lanconelli (ISAC/CNR, Italy), Ghislain Picard and Laurent Arnaud (LGGE, Grenoble, France), Andrea Pellegrini (ENEA, Italy) and Laura Ginoni. We also thanks Eric Brun (Météo-France,CNRM/GAME) and Irina Sandu (ECMWF) as a most valuable beta tester for the atmospheric forcing used in the SCM.

This work is supported by the french national programme LEFE/INSU

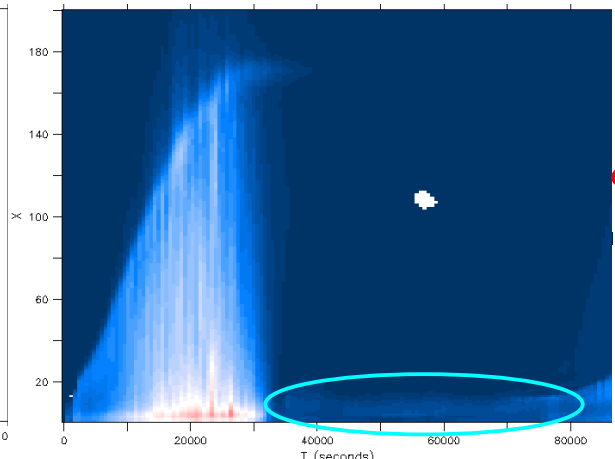
## LES intercomparsion :

### 2/ turbulent kinetic energy evolution

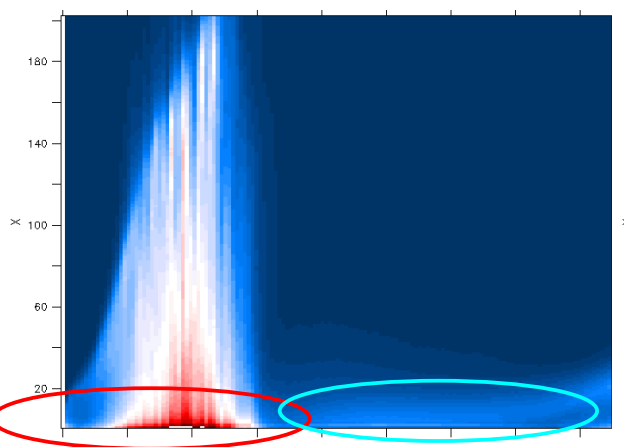
Mesonh



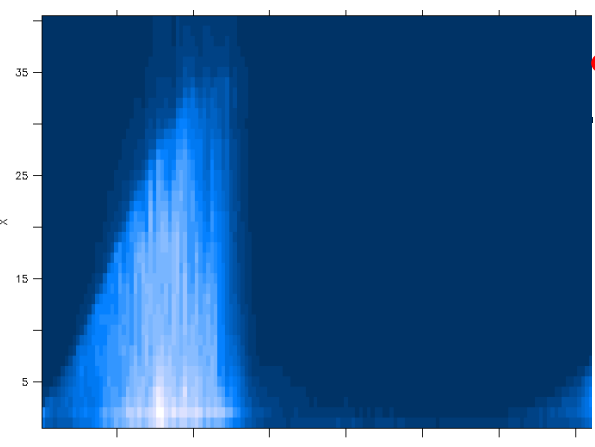
PALM



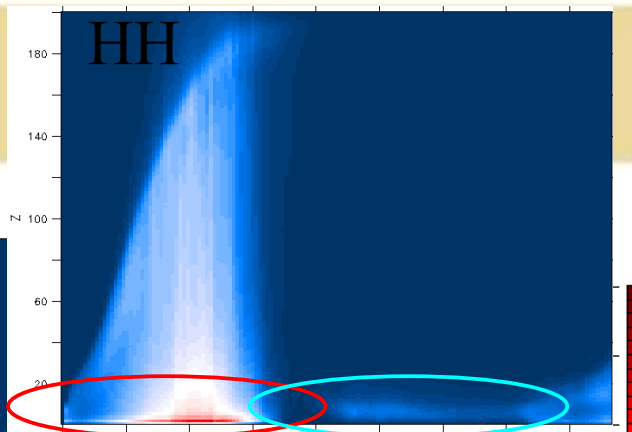
SAM



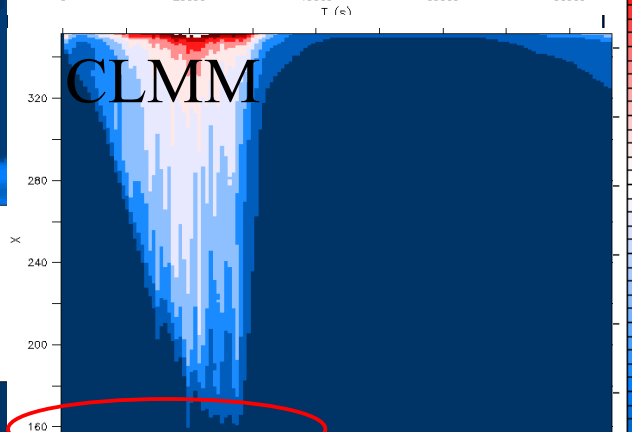
NCSU



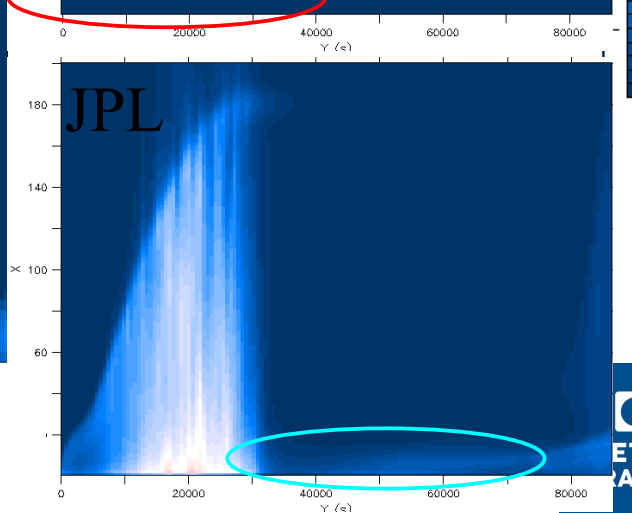
HH



CLMM



JPL



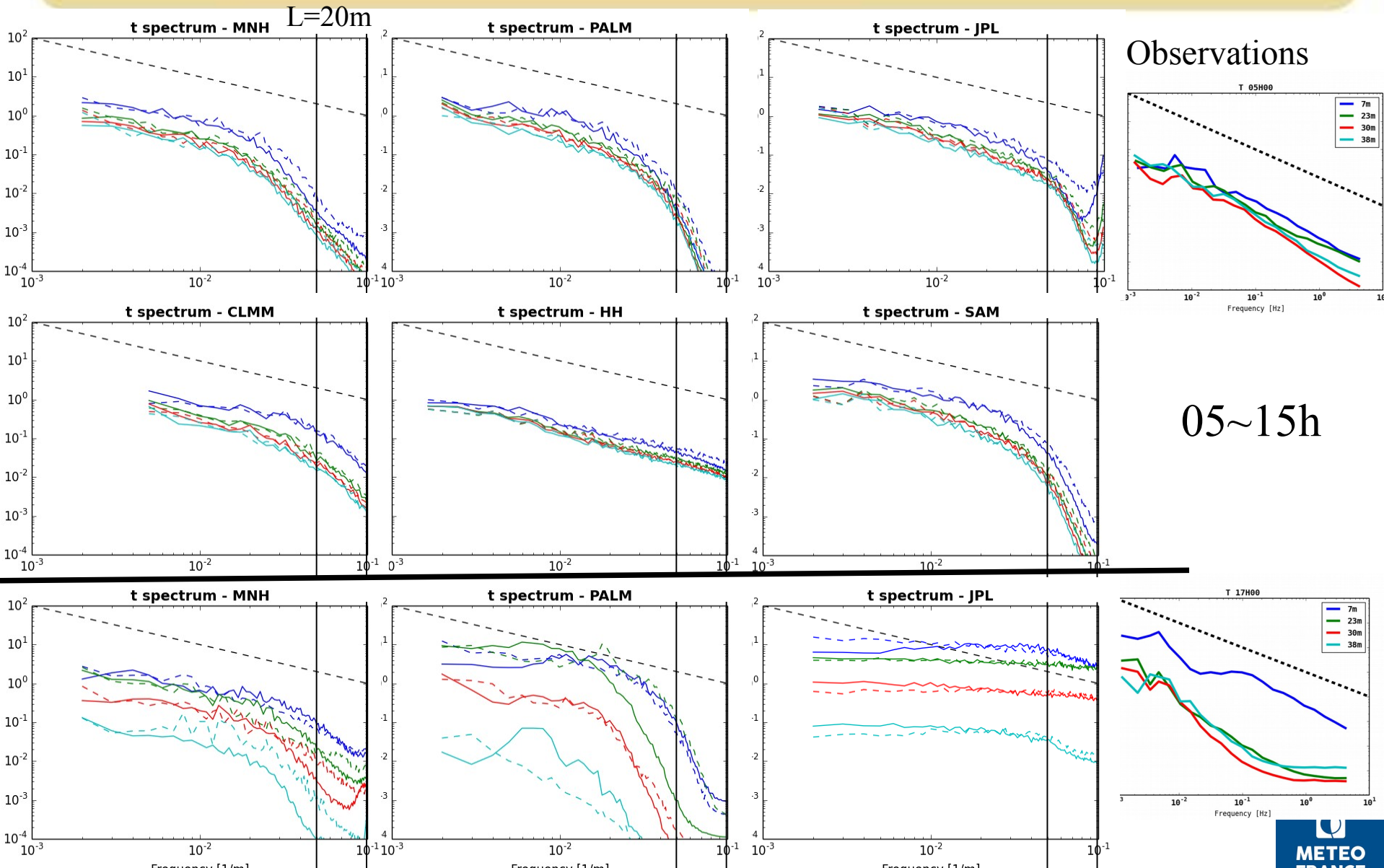
Larger daytime tke for SAM, CLMM and HH

Larger nighttime tke for SAM, PALM, HH, JPL

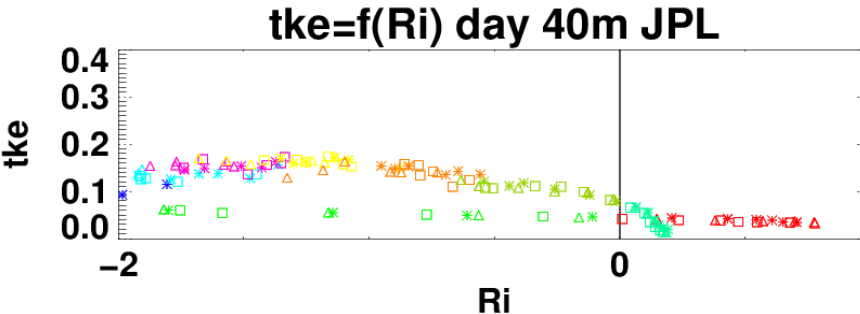
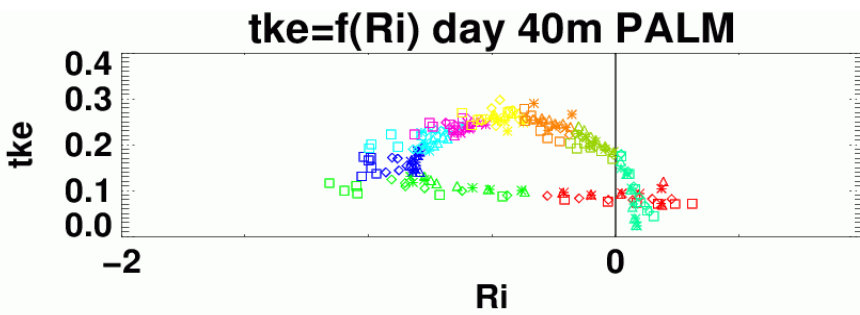
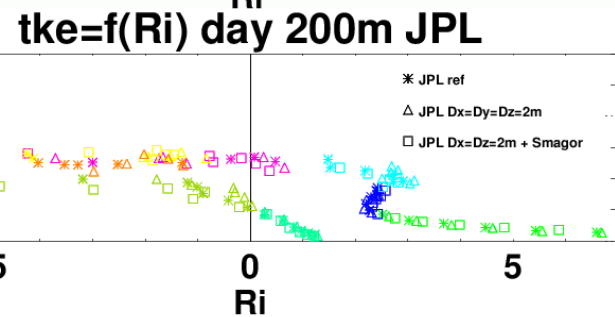
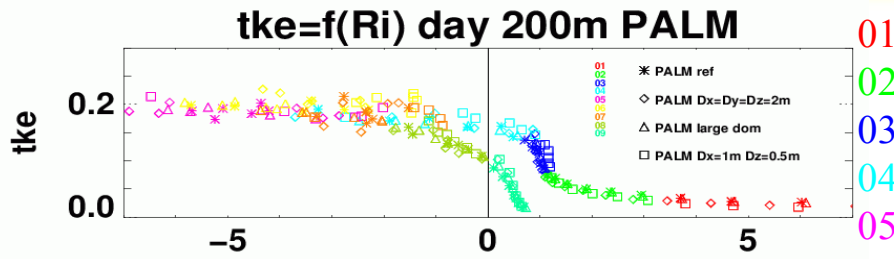


CETEO  
ANCE

# LES intercomparison : spectrum at observed levels

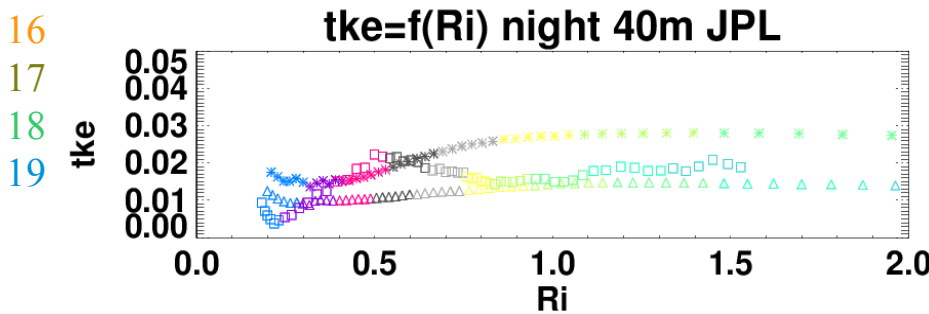
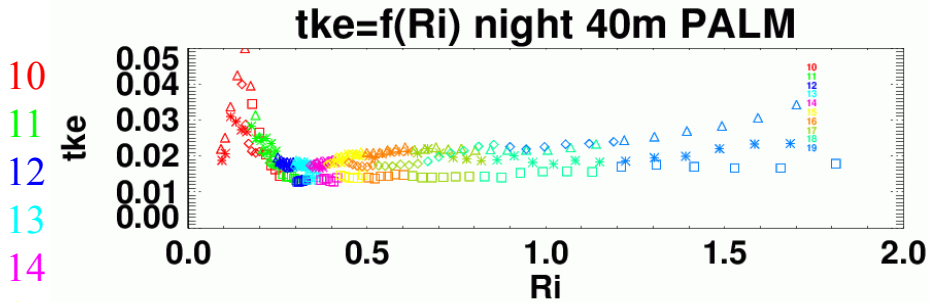


# Turbulent regimes : resolution impact

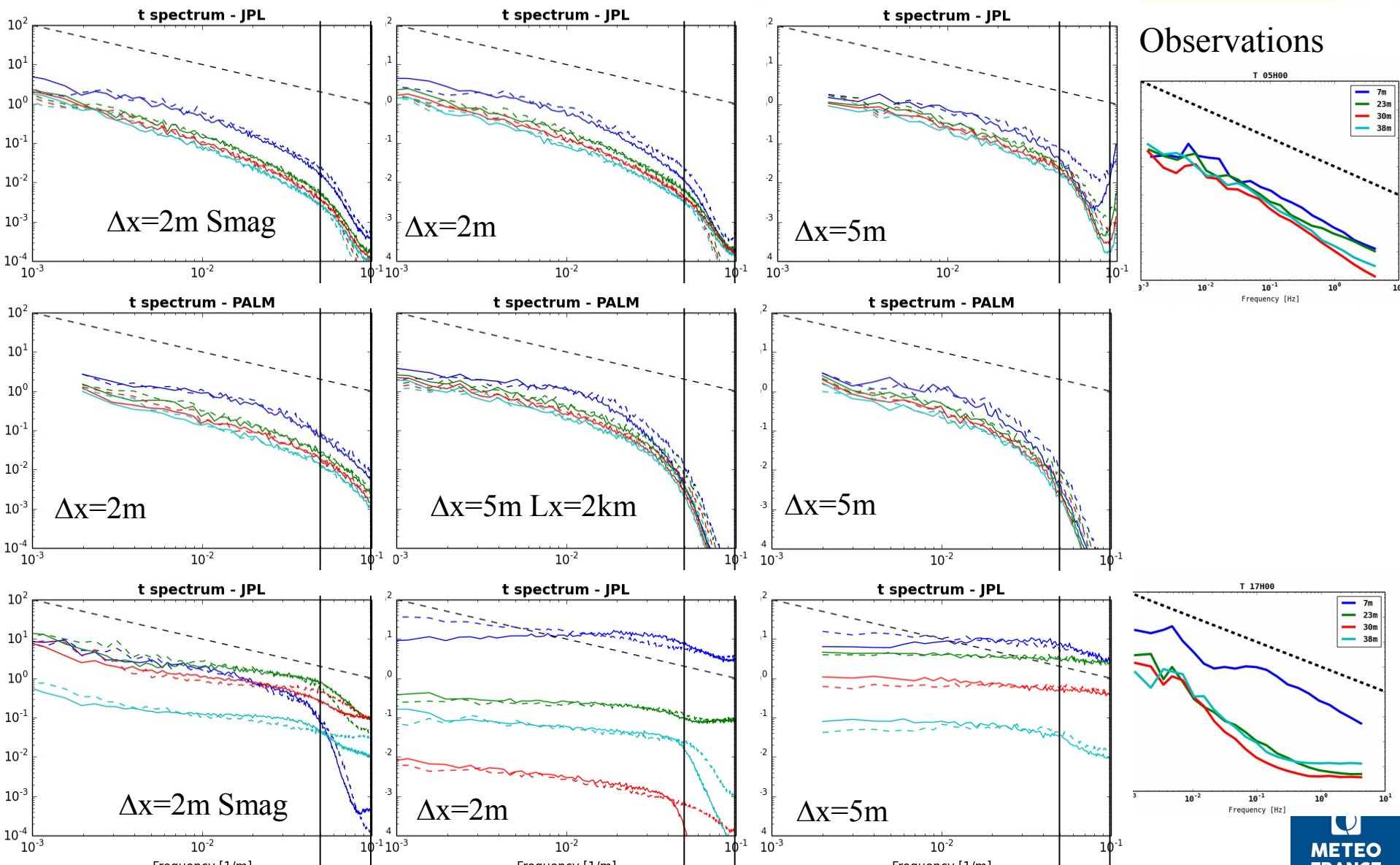


Daytime histeresis at 200m and 40m : more or less agreement between models

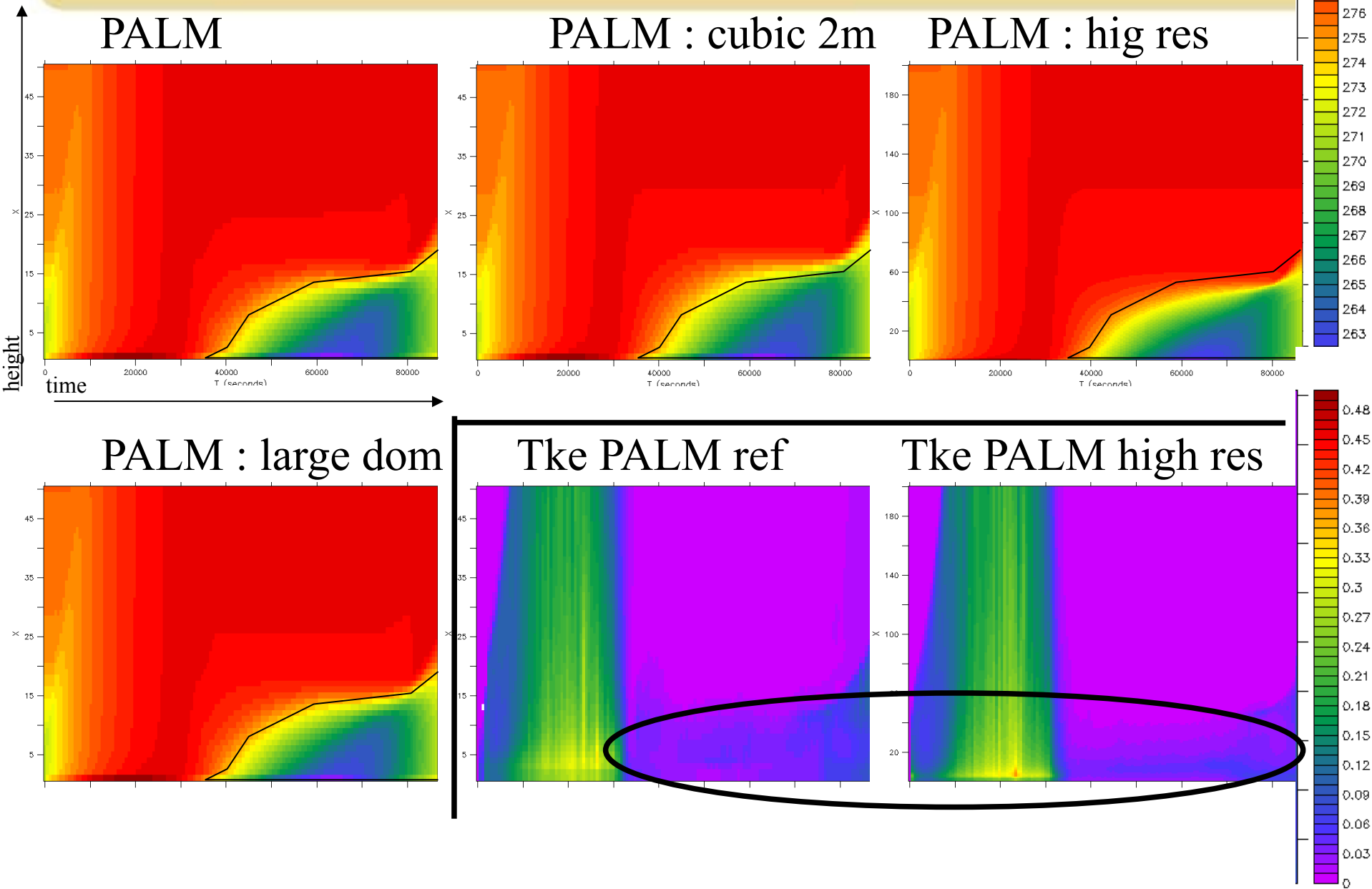
Larger differences at night, LES can more or less Explore large Ri



# LES intercomparison : spectrum at observed levels



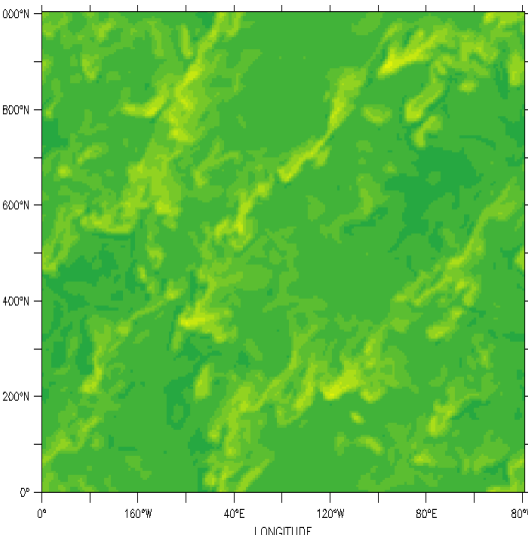
## Sensitivity to the resolution : temperature evolution



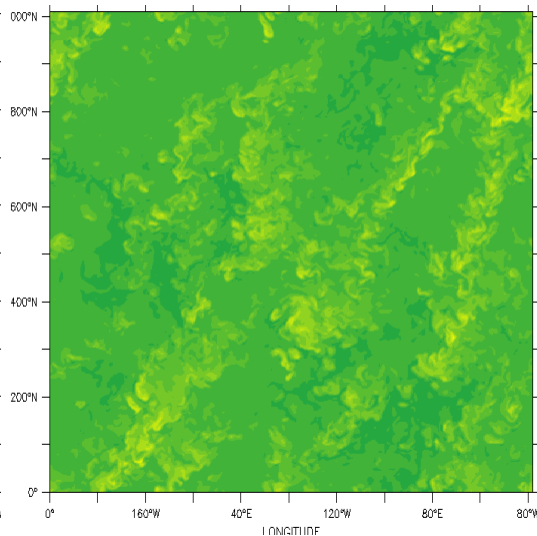
## Sensitivity to the resolution : cross sections

T at 31m 05TU (upper panels) / u at 9m 17TU (lower panels)

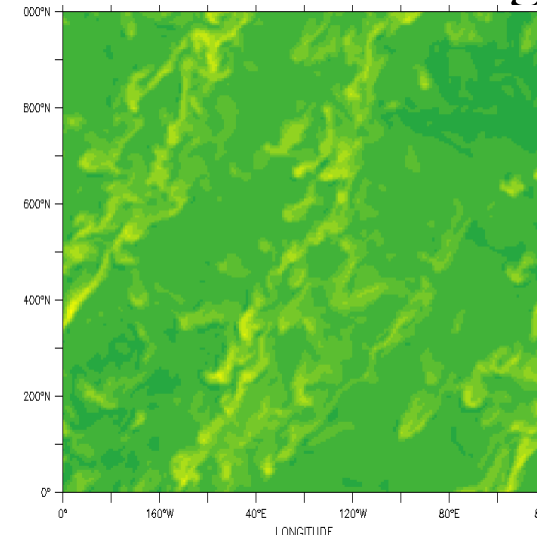
PALM



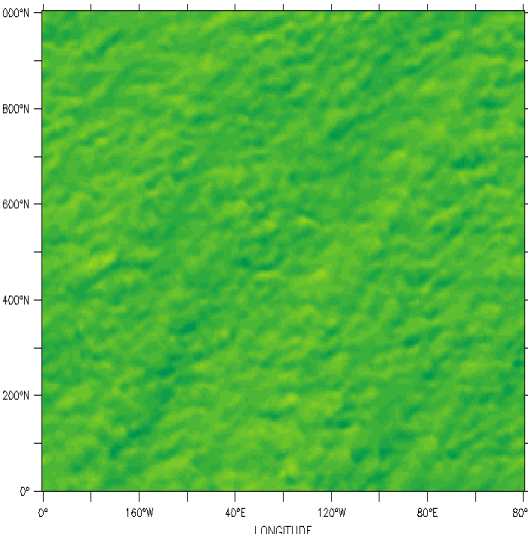
PALM : cubic



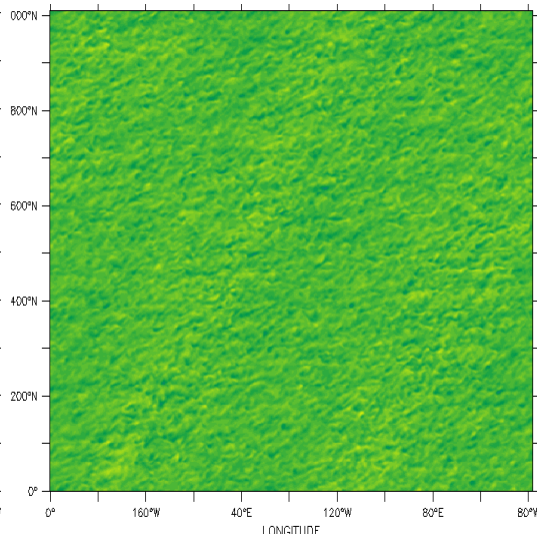
PALM : larger dom



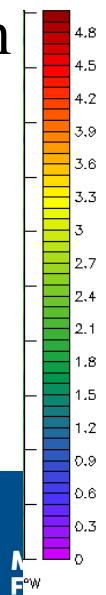
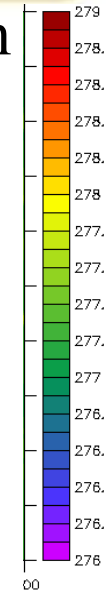
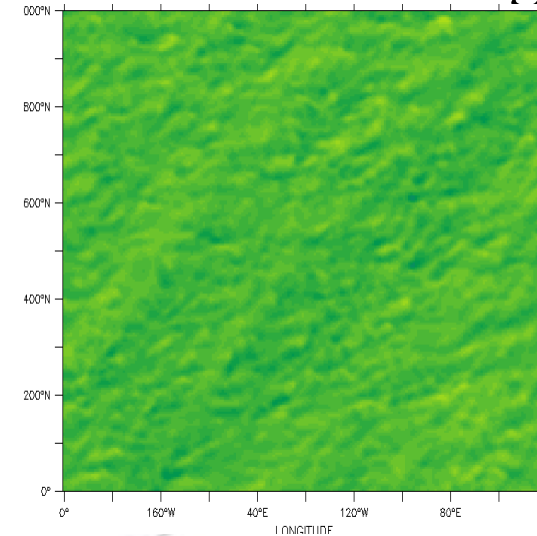
PALM



PALM : cubic



PALM : larger dom



M  
F  
W

# Presentation of the various LES for stage 3

LES model	Horizontal resolution	Vertical resolution	Top of the domain	Domain size	Time step	Advection scheme (finite differences except noted)	Temporal scheme
MesoNH	5m/ <b>25m</b>	2m (stretched z>400m) <b>stretched (1m-&gt;10m z&lt;400m)</b>	Sponge layer for $\geq 700\text{m}$ K=0.001	1x1x1 km <sup>3</sup> <b>5x5x1.6km<sup>3</sup></b>	0.2s/ <b>0.3s</b>	Scalars: monotonic Piecewise Parabolic Method Momentum: 4th order centered	Leap-frog scheme + asselin filter
PALM	5m/ <b>2m/1m</b>	2m/ <b>2m/0.5m</b>	Sponge layer z $\geq 700\text{m}$	1x1x1km <sup>3</sup> <b>2.5x2.5x1km<sup>3</sup></b>	Variable (CFL<1 0.65-0.9s; <b>0.13-0.17s</b> )	Scalars & momentum: 5th order advection scheme (Wicker, Skamarock 2002)	Third-order Runge Kutta
JPL	5m	2m	Sponge layer for $\geq 700\text{m}$ $\tau=600\text{s}$	1x1x1km <sup>3</sup>	Variable (CFL<1.4; 0.8-1.5s)	Scalars and momentum: sixth-order fully conservative scheme	Third-order Runge Kutta
MicroHH	5m	2m	Sponge layer z $\geq 700\text{m}$	<b>3x3x0.5km<sup>3</sup></b>	Variable (CFL < 1.2)	Scalars and momentum: 2nd order with 4th order interpolations	Third-order Runge Kutta
CLMM	5m	2m	Sponge layer z $\geq 600\text{m}$	1x1x1km <sup>3</sup>	Variable (CFL < 0.7)	Scalars: k=1/3 scheme momentum: 2nd order symmetric centered differences	Third-order Runge Kutta with a fractional step method
NCSU	<b>10m</b>	<b>10m</b>	$\geq 600\text{m}$ K increases with height	1x1x1km <sup>3</sup>	0.25s	<i>pseudo-spectral code</i> (spectral in horizontal direction; 2nd-order finite difference in vertical)	Second-order Adams-Bashforth
SAM-IPHOC	100m	5m-> 300m ( $z<400\text{m}$ ) $\rightarrow$ 10km ( $z=29\text{km}$ )	$\geq 19\text{km}$	6.4x6.4x1km <sup>3</sup>	2s	Scalars and momentum: 5th order ULTIMATE-MACHO for non-uniform vertical grid	Third-order Adams-Bashforth
SAM-IPHOC-HR	5m	2m	???	1x1x1km <sup>3</sup>	0.5	Scalars and momentum: 5th order ULTIMATE-MACHO for non-uniform vertical grid	Third-order Adams-Bashforth

# Presentation of the various LES for stage 3

LES model	Subgrid turbulence scheme	Surface scheme
MesoNH	Tke-l type with 1 equals to Deardorff length-scale: gradient approach with sgs eddy-diffusivities and a prognostic equation for sgs-tke	ISBA (Noilhan et al 1989) surface scheme
PALM	1.5 order scheme after Deardorff (1980): gradient approach with sgs eddy diffusivities and a prognostic equation for sgs-tke	Monin-Obukhov similarity theory
JPL	Buoyancy adjusted stretched vortex model: a bit different than tke-Smagorinsky type with functional closures (Cung and Matheou 2014)	Monin-Obukhov similarity theory
MicroHH	Smagorinsky-Lilly stability correction from Lilly (1962) Fixed Prandtl number (1/3) wall-damping near the surface	Monin-Obukhov similarity theory with stability functions following Wilson (2001) for unstable condition and Hogstrom (1988) for stable conditions
CLMM	Sigma sgs model with an experimental stability correction	Monin-Obukhov similarity theory applied locally, fluxes computed iteratively
NCSU	Locally-averaged scale-dependent dynamic model (LASDD) Both Smagorinski coefficient and Prandtl numbers are determined dynamically	Monin-Obukhov similarity theory
SAM-IPHOC	IPHOC (intermediately prognostic higher-order turbulence closure): prognostic equations for 2nd & 3rd moments + Joint double gaussian distribution for $thl, rt, w \Rightarrow$ 4th order moments & cloud variables	Monin-Obukhov similarity theory

# Resolution of fluxes for the various LES

Les models	En stable	En instable
Meso-NH		
PALM	$x = (1 - 6\zeta)^{1/4}$ <div style="display: flex; justify-content: space-around;"> <span><math>\Pr_{\text{Ph}}</math></span> <ul style="list-style-type: none"> <li>• <math>\Phi_m = -3\zeta^{\frac{5}{6}},</math></li> <li>• <math>\Phi_h = -2.5\zeta^{\frac{4}{5}}.</math></li> </ul> </div>	<ul style="list-style-type: none"> <li>• <math>\Phi_m = \log\left(\frac{1+x^2}{2}\left(\frac{1+x}{2}\right)^2\right) - 2\arctan(x) + \pi/2,</math></li> <li>• <math>\Phi_h = 2\log\left(\frac{1+x^2}{2}\right),</math></li> </ul>
JPL		
M-O similarity $u^*, \theta^* = f(du/dz, d\theta/dz, \Phi_m, \Phi_h, z/Lmo)$		
$ustar = K_z \times \frac{\partial}{\partial z} \times \Phi_{im}(z/Lmo)$		

Biais de température  
de surface /MODIS  
(Freville et al. 2014)

